

państwowa służba
geologiczna

PROGNOZA SYTUACJI HYDROGEOLOGICZNEJ W STREFACH ZASILANIA I POBORU WÓD PODZIEMNYCH

OD: 01.08.2025
DO: 31.08.2025

WARSZAWA
LIPIEC 2025



Państwowy Instytut Geologiczny
Państwowy Instytut Badawczy

pgi.gov.pl

7/2025

państwowa służba
geologiczna

PROGNOZA SYTUACJI HYDROGEOLOGICZNEJ W STREFACH ZASILANIA I POBORU WÓD PODZIEMNYCH

OD: 01.08.2025

DO: 31.08.2025

Redaktor naukowy: dr Małgorzata Woźnicka

Opracowanie merytoryczne: mgr Urszula Czarniecka-Januszczuk,
mgr Agnieszka Kowalczyk, dr Anna Kuczyńska, mgr Izabela Stępińska-Drygała,
mgr Dorota Olędzka, mgr Piotr Wesołowski

WARSZAWA
LIPIEC 2025



Państwowy Instytut Geologiczny
Państwowy Instytut Badawczy

pgi.gov.pl

**PROGNOZA SYTUACJI HYDROGEOLOGICZNEJ
W STREFACH ZASILANIA
I POBORU WÓD PODZIEMNYCH
na okres: 01.08.2025 – 31.08.2025**

Podstawa prawna: ustawa z dnia 20 lipca 2017 r. - Prawo wodne (Dz.U. 2024 poz. 1087, 1089, 1473 z poz. zm.) oraz rozporządzenie Ministra Infrastruktury z dnia 24 października 2023 r. w sprawie ostrzeżeń, prognoz, komunikatów, biuletynów i roczników państwowej służby hydrologiczno-meteorologicznej i państwowej służby geologicznej (Dz.U. 2023 poz. 2430).

Prognoza przedstawia opis przewidywanego rozwoju sytuacji hydrogeologicznej na obszarze kraju w strefach zasilania i poboru wód podziemnych w okresie od 1 do 31 sierpnia 2025 r. Opracowanie obejmuje analizę w zakresie położenia zwierciadła wód podziemnych, stanu rezerw zasobów zmiennych wód podziemnych oraz zagrożenia hydrogeologicznego.

Strefy zasilania wód podziemnych obejmują blisko 90% obszaru kraju. Zgodnie z aktualną informacją pozyskaną przez państwową służbę geologiczną (PSG) liczba ujęć wód podziemnych, które corocznie działają w ramach poboru rejestrowanego, wynosi w Polsce ponad 20 000. Ok. 90% spośród tych ujęć służy zaopatrzeniu ludności w wodę do spożycia. Według danych GUS wody podziemne stanowią ponad 70% wody przeznaczonej do spożycia przez ludzi i dystrybuowanej sieciami wodociągowymi na obszarze kraju¹. Są również źródłem wód dla zaspokojenia potrzeb gospodarstw domowych w ramach zwykłego korzystania z wód oraz zasilają ekosystemy zależne od wód podziemnych.

Przy założeniu wystąpienia w najbliższych tygodniach niekorzystnych warunków meteorologicznych (deficyt opadów atmosferycznych), niżówka hydrogeologiczna w prognozowanym okresie może występować na znacznych obszarach, głównie we wschodniej i centralnej części kraju. Zjawisko niżówki o zasięgu regionalnym prognozuje się w obrębie następujących województw: podlaskiego, warmińsko-mazurskiego, mazowieckiego, lubelskiego, małopolskiego oraz zachodniopomorskiego, wielkopolskiego, kujawsko-pomorskiego, łódzkiego, świętokrzyskiego, podkarpackiego, śląskiego i lubuskiego. Lokalnie, zwierciadło pierwszego poziomu wodonośnego poniżej stanu niskiego ostrzegawczego (SNO) może układać się także na innych, niż wymienione powyżej, obszarach kraju. Występowanie zwierciadła wód pierwszego poziomu wodonośnego poniżej poziomu SNO może powodować utrudnienia w zaopatrzeniu w wodę z płytkich ujęć wód podziemnych (indywidualne studnie gospodarskie) oraz z ujęć komunalnych eksploatujących pierwszy poziom wodonośny.

¹ *Ochrona środowiska 2024*. Warszawa: Główny Urząd Statystyczny; 2024. ISSN: 0867-3217.

Prognozy mają na celu wskazanie tendencji rozwoju sytuacji hydrogeologicznej w nadchodzących tygodniach. Na potrzeby niniejszej prognozy wykorzystano wyniki pomiarów głębokości zwierciadła wód podziemnych w punktach sieci obserwacyjno-badawczej państwowej służby geologicznej, przy uwzględnieniu prognoz Instytutu Meteorologii i Gospodarki Wodnej - Państwowego Instytutu Badawczego. Wykorzystano również dostępne dane dotyczące ilości ustalonych zasobów dyspozycyjnych wód podziemnych² oraz Biuletynu Państwowej Służby Hydrologiczno-Meteorologicznej³. Analizy ujęto w skrajne scenariusze prawdopodobnego rozwoju regionalnej sytuacji hydrogeologicznej, w nawiązaniu do możliwych do wystąpienia warunków meteorologicznych.

Określenia bieżącej sytuacji hydrogeologicznej oraz prognozy wystąpienia niżówki hydrogeologicznej dokonano na podstawie interpretacji wyników pomiarów wykonanych w reprezentatywnych punktach sieci obserwacyjno-badawczej wód podziemnych państwowej służby geologicznej. Zastosowano następujące zasady metodyczne:

- Zagrożenie niżówką hydrogeologiczną określono na podstawie odniesienia prognozowanego położenia zwierciadła wód podziemnych (AG) do poziomu granicznego opisywanego zjawiska, tj. stanu niskiego ostrzegawczego (SNO).
- Wskaźnik zmian retencji (Rz), tj. poziomu rezerw odniesionych do najniższego zaobserwowanego w wieloleciu położenia zwierciadła wody (NNG), obliczono według zależności:

$$Rz = \frac{NNG - AG}{\frac{1}{2}(NNG - SNO)},$$

gdzie:

- | | | |
|---------|---|---|
| NNG [m] | - | najniższa roczna wartość głębokości zwierciadła wody z okresu wielolecia; |
| AG [m] | - | średnia miesięczna prognozowana wartość głębokości zwierciadła wody, obliczona dla miesiąca okresu objętego prognozą; |
| SNO [m] | - | stan niski ostrzegawczy (tj. głębokość położenia zwierciadła wody uzasadniająca wprowadzenie stanu zagrożenia hydrogeologicznego) określony jako poziom zwierciadła wody obliczany jako średnia z minimalnych rocznych stanów położenia zwierciadła wody charakteryzujących się wartościami niższymi od wielkości opisanej jako poziom średni niski z wielolecia. |

² <https://www.pgi.gov.pl/psh/zadania-psh/8886-zadania-psh-zasoby-wod-podziemnych.html>

³ Biuletyn Państwowej Służby Hydrologiczno-Meteorologicznej Nr 4 (284). Instytut Meteorologii i Gospodarki Wodnej - Państwowy Instytut Badawczy; 2025. ISSN: 1730-6124;

Biuletyn Państwowej Służby Hydrologiczno-Meteorologicznej Nr 5 (285). Instytut Meteorologii i Gospodarki Wodnej - Państwowy Instytut Badawczy; 2025. ISSN: 1730-6124;

Biuletyn Państwowej Służby Hydrologiczno-Meteorologicznej Nr 6 (286). Instytut Meteorologii i Gospodarki Wodnej - Państwowy Instytut Badawczy; 2025. ISSN: 1730-6124.

Wskaźnik zmian retencji określa zmiany wielkości rezerw zasobów zmiennych pierwszego poziomu wodonośnego. Graniczna wartość opisywanego wskaźnika równa jedności przekłada się na poziom odniesienia przypadający na środek przedziału SNO-NNG, czyli stan zagrożenia dla użytkowania wód podziemnych, przy założeniu dalszej tendencji spadkowej położenia zwierciadła wody. Prognozy przedstawia się na podstawie analizy wieloletniej charakterystyki trendów położenia zwierciadła płytkich wód podziemnych oraz zmian sezonowych.

W niezaburzonym antropogenicznie środowisku wahania zwierciadła wody podziemnej charakteryzuje wieloletnia quasi-cykliczność. W długich okresach obserwacji – ponad 50-letnich, naturalne położenie zwierciadła nie wykazuje wyraźnego trendu. Jednak w krótszych przedziałach czasowych widoczne są znaczne zmiany, które oznaczają wzrost lub spadek odnawialnych zasobów wód podziemnych. Dla gospodarki wodnej wychwycenie tych okresowych tendencji ma kluczowe znaczenie w ocenie ryzyka związanego z możliwością wystąpienia ekstremalnych stanów wód podziemnych.

Prognoza zmian położenia zwierciadła wody dotyczy wód podziemnych pierwszego, nieizolowanego od powierzchni terenu poziomu wodonośnego o zwierciadle swobodnym, zasilanego bezpośrednio poprzez infiltrację opadów atmosferycznych i zazwyczaj silnie reagującego na zmienność warunków meteorologicznych i hydrologicznych oraz na antropopresję. Poziom ten ma bezpośredni wpływ na kształtowanie odpływu rzecznoego w przypadku, gdy stan wód powierzchniowych jest zależny od wód podziemnych.

Niepewność długookresowej prognozy sytuacji meteorologiczno-hydrologicznej powoduje, że prognozę zmian położenia zwierciadła wody podziemnej przedstawia się w zależności od wielkości zasilania wód podziemnych według **dwóch scenariuszy** przy założeniu, że:

- w prognozowanym okresie suma opadów atmosferycznych będzie wyższa od średniej wieloletniej i temperatury powietrza będą sprzyjały infiltracji wód opadowych do warstwy wodonośnej – **scenariusz A**;
- w prognozowanym okresie suma opadów atmosferycznych będzie niższa od średniej wieloletniej i/lub temperatury powietrza nie będą sprzyjały infiltracji wód opadowych do warstwy wodonośnej – **scenariusz B**. Scenariusz ten zakłada deficyt opadów atmosferycznych.

Prognozę zmian zasobów i zagrożeń wód podziemnych w tym opracowaniu (część II i III opracowania) przedstawia się wyłącznie dla scenariusza B.

Część I

Prognoza zmian położenia zwierciadła wód podziemnych

Zgodnie ze scenariuszem B w okresie od 1 do 31 sierpnia 2025 r., według przeprowadzonych analiz, zwierciadło płytkich wód podziemnych na przeważającym obszarze kraju, będzie układać się w strefie powyżej stanu niskiego ostrzegawczego (SNO), tj. w bezpiecznej strefie wahań. Tym niemniej na znacznych obszarach w województwach: podlaskim, warmińsko-mazurskim, mazowieckim, lubelskim, małopolskim oraz, w mniejszym stopniu, w zachodniopomorskim, wielkopolskim, kujawsko-pomorskim, łódzkim, świętokrzyskim, podkarpackim, śląskim i lubuskim zwierciadło może układać się w strefie poniżej stanu niskiego ostrzegawczego. Lokalnie takie obniżenia mogą być obserwowane również w pozostałych województwach kraju.

W okresie objętym prognozą często na terenie kraju zwierciadło pierwszego poziomu wodonośnego może układać się w strefie stanów SNG-SNO, czyli powyżej wartości ostrzegawczej, a poniżej średniego stanu niskiego z wielolecia. Jednak tego typu sytuacje nie powinny powodować problemów w zaopatrzeniu w wodę.

Lokalizację punktów sieci obserwacyjno-badawczej wód podziemnych, dla których wykonano symulacje rozwoju sytuacji hydrogeologicznej przedstawia rysunek nr 1.



Objaśnienia:

- II/98/1 punkt sieci obserwacyjno-badawczej wód podziemnych i jego numer
- ~ granica województw

Regiony wodne

 Banówki	 Metuje
 Bugu	 Morawy
 Czadeczeki	 Narwi
 Czarnej Orawy	 Niemna
 Dniestru	 Noteci
 Dolnej Odry i Przymorza Zachodniego	 Orlicy
 Dolnej Wisły	 Warty
 Górnej Odry	 Łaby i Ostrożnicy (Upa)
 Górnej-Wschodniej Wisły	 Łyny i Węgorapy
 Górnej-Zachodniej Wisły	 Środkowej Odry
 Iżery	 Środkowej Wisły
 Małej Wisły	 Świeżej

Rys. 1. Lokalizacja punktów sieci obserwacyjno-badawczej wód podziemnych, dla których wykonano symulacje rozwoju sytuacji hydrogeologicznej

W tabeli nr 1 zestawiono wyniki prognozy w odniesieniu do położenia zwierciadła wody względem stanów charakterystycznych i oceny stopnia zagrożenia niżówką hydrogeologiczną w analizowanych punktach sieci obserwacyjno-badawczej PIG-PIB. Województwa wymieniono w porządku alfabetycznym. Przedstawione dane dotyczą wariantu prognozy opisanej jako scenariusz B.

Tab. 1. Prognozowane, uśrednione położenie zwierciadła wody względem stanów charakterystycznych (kolumna nr 4) i ocena stopnia zagrożenia niżówką hydrogeologiczną (kolumna nr 5) dla analizowanych punktów sieci obserwacyjno-badawczej PIG-PIB na okres: 1 – 31.08.2025 r. według scenariusza B

Województwo	Miejscowość	Nr punktu**	Położenie zw. wody	Stopień zagrożenia	Śr. prędkość spadku zw. wody w sierpniu [m/m-c]	P [%]*
1	2	3	4	5	6	7
dolnośląskie	Lasów	II/1164/1	SNG-SNO	umiarkowany	0,11	85,0
dolnośląskie	Zgorzelec	II/1165/1	poniżej SNO	wysoki	0,25	70,0
dolnośląskie	Kamień Górowski	II/1203/1	powyżej SSG	bardzo niski	0,05	>95
dolnośląskie	Posadowice	II/1228/1	SNG-SSG	niski	0,15	83,3
dolnośląskie	Szklarska Poręba	<u>II/1762/1**</u>	SNG-SSG	niski	0,25	91,7
dolnośląskie	Różanka	II/1775/1	poniżej SNO	wysoki	0,08	66,7
dolnośląskie	Goliszów	II/1856/1	powyżej SSG	bardzo niski	0,02	50,0
dolnośląskie	Piława Górna	II/601/1	powyżej SSG	bardzo niski	0,34	63,2
dolnośląskie	Białobrzecze	II/732/1	SNG-SSG	niski	0,24	75,0
dolnośląskie	Szczawno - Zdrój	II/744/1	poniżej SNO	wysoki	0,71	61,5
dolnośląskie	Stary Wielistaw	II/747/1	SNG-SNO	umiarkowany	0,24	72,0
dolnośląskie	Bogdaszowice	II/914/1	SNG-SNO	umiarkowany	0,03	80,6
kujawsko-pomorskie	Jagodowo	<u>I/257/4**</u>	poniżej SNO	wysoki	0,09	84,8
kujawsko-pomorskie	Przedbórz	II/1271/1	poniżej SNO	wysoki	0,16	78,9
kujawsko-pomorskie	Kąkol	II/1583/1	SNG-SNO	umiarkowany	0,02	88,2
kujawsko-pomorskie	Skrzynki	II/178/1	poniżej SNO	wysoki	0,10	71,4
kujawsko-pomorskie	Wierzchy	II/183/1	poniżej SNO	wysoki	0,06	61,7
kujawsko-pomorskie	Solec Kujawski	II/185/1	SNG-SNO	umiarkowany	0,08	75,0
kujawsko-pomorskie	Mokry Las	II/1875/1	SNG-SSG	niski	0,05	77,8
kujawsko-pomorskie	Szubin	II/527/1	poniżej SNO	wysoki	0,08	65,0
kujawsko-pomorskie	Rozwarzyn	<u>II/906/1**</u>	SNG-SSG	niski	0,10	42,1
lubelskie	Sadurki	II/327/1	poniżej SNO	wysoki	0,14	84,2
lubelskie	Giełczew - Doły	II/331/1	poniżej SNO	wysoki	0,29	83,3
lubelskie	Koszarsko	II/334/1	SNG-SNO	umiarkowany	0,15	84,1
lubelskie	Wożuczyn	II/338/1	powyżej SSG	bardzo niski	0,03	46,4
lubelskie	Poizdów	II/509/1	SNG-SNO	umiarkowany	0,03	76,9
lubelskie	Siemień	II/510/1	poniżej SNO	wysoki	0,12	77,8
lubelskie	Wola Uhruska	II/514/1	poniżej SNO	wysoki	0,34	89,7

Województwo	Miejscowość	Nr punktu**	Położenie zw. wody	Stopień zagrożenia	Śr. prędkość spadku zw. wody w sierpniu [m/m-c]	P [%]*
lubelskie	Żmudź	II/516/1	poniżej SNO	wysoki	0,41	81,1
lubelskie	Łabunie	II/519/1	poniżej SNO	wysoki	0,11	76,9
lubelskie	Babin	<u>II/561/1**</u>	poniżej SNO	wysoki	0,10	84,2
lubelskie	Borki	II/572/1	SNG-SNO	umiarkowany	0,06	63,2
lubelskie	Manie	II/575/1	poniżej SNO	wysoki	0,12	88,9
lubelskie	Międzyłесь	II/576/1	poniżej SNO	wysoki	0,27	68,4
lubelskie	Podedwórze	II/578/1	poniżej SNO	wysoki	0,14	77,8
lubelskie	Bronowice	II/582/1	poniżej SNO	wysoki	0,21	73,7
lubuskie	Rudnica	I/650/2	SNG-SSG	niski	0,07	58,8
lubuskie	Wysokie	<u>I/910/2**</u>	poniżej SNO	wysoki	0,13	66,7
lubuskie	Dobrzyń	II/1139/1	poniżej SNO	wysoki	0,22	52,9
lubuskie	Póżna	II/1155/3	SNG-SSG	niski	0,08	88,9
lubuskie	Łłowa	II/1191/1	SNG-SSG	niski	0,07	72,7
lubuskie	Czartów	II/1539/1	SNG-SSG	niski	0,06	81,8
lubuskie	Szprotawa	<u>II/1860/1**</u>	powyżej SSG	bardzo niski	0,07	40,0
lubuskie	Nowe Żabno	II/736/2	poniżej SNO	wysoki	0,10	66,7
łódzkie	Grodzisk	II/1075/1	poniżej SNO	wysoki	0,05	73,7
łódzkie	Marcelów	II/1288/2	SNG-SSG	niski	0,05	81,8
łódzkie	Jadwinówka	II/1348/1	poniżej SNO	wysoki	0,08	84,2
łódzkie	Przedbórz	II/1377/1	poniżej SNO	wysoki	0,08	50,0
łódzkie	Sulejów	<u>II/1391/1**</u>	poniżej SNO	wysoki	0,10	84,2
łódzkie	Przeręb	II/1400/1	SNG-SNO	umiarkowany	0,08	57,9
łódzkie	Wrzeszczewice	II/1731/1	SNG-SNO	umiarkowany	0,10	90,9
łódzkie	Saków	II/1867/1	SNG-SNO	umiarkowany	0,07	62,5
łódzkie	Kamieńsk	II/281/1	powyżej SSG	bardzo niski	0,10	53,2
łódzkie	Masłowice	<u>II/316/1**</u>	SNG-SSG	niski	0,09	65,2
łódzkie	Lubocz	II/319/1	poniżej SNO	wysoki	0,09	68,1
małopolskie	Jabłonka	<u>I/847/1**</u>	poniżej SNO	wysoki	0,07	78,6
małopolskie	Otfinów	II/1657/1	SNG-SNO	umiarkowany	0,11	58,3
małopolskie	Bielcza	II/1658/1	SNG-SSG	niski	0,22	71,4
małopolskie	Zakliczyn	II/1678/1	SNG-SNO	umiarkowany	0,17	75,0
małopolskie	Broszkowice	II/1715/1	SNG-SSG	niski	0,08	55,6
małopolskie	Facimiech	II/750/1	SNG-SNO	umiarkowany	0,26	72,2
małopolskie	Kraków	<u>II/771/1**</u>	powyżej SSG	bardzo niski	0,02	71,9
małopolskie	Lubasz	II/832/1	SNG-SSG	niski	0,11	57,9
małopolskie	Pcim	II/838/1	poniżej SNO	wysoki	0,26	52,6
małopolskie	Piwniczna - Zdrój	II/844/1	poniżej SNO	wysoki	0,26	62,5
małopolskie	Bukowno	II/938/1	powyżej SSG	bardzo niski	0,32	44,4
mazowieckie	Brwinów	<u>I/211/4**</u>	poniżej SNO	wysoki	0,12	73,1
mazowieckie	Granica	I/960/2	poniżej SNO	wysoki	0,12	77,8
mazowieckie	Wymyśle Polskie	II/1072/1	SNG-SNO	umiarkowany	0,07	84,2
mazowieckie	Wincentów	II/1073/1	SNG-SNO	umiarkowany	0,08	77,8

Województwo	Miejscowość	Nr punktu**	Położenie zw. wody	Stopień zagrożenia	Śr. prędkość spadku zw. wody w sierpniu [m/m-c]	P [%]*
mazowieckie	Kamion	II/1076/1	poniżej SNO	wysoki	0,08	87,5
mazowieckie	Grędzice	II/1260/1	poniżej SNO	wysoki	0,09	>95
mazowieckie	Iłża	II/1380/1	SNG-SSG	niski	0,09	75,0
mazowieckie	Kazimierki	II/1385/1	SNG-SNO	umiarkowany	0,05	63,2
mazowieckie	Białobrzegi	II/1386/1	SNG-SNO	umiarkowany	0,11	72,2
mazowieckie	Kozienice	II/1388/1	poniżej SNO	wysoki	0,07	84,2
mazowieckie	Ciepielów	II/1398/1	poniżej SNO	wysoki	0,10	84,2
mazowieckie	Łęg Starościński	II/1441/1	poniżej SNO	wysoki	0,08	83,3
mazowieckie	Sypniewo	II/1446/1	SNG-SNO	umiarkowany	0,08	84,2
mazowieckie	Parciaki - Stacja	II/1448/1	poniżej SNO	wysoki	0,07	73,7
mazowieckie	Płock	II/172/1	poniżej SNO	wysoki	0,06	77,3
mazowieckie	Nagoszewo	II/1722/1	poniżej SNO	wysoki	0,07	90,9
mazowieckie	Kaliska	II/1723/1	poniżej SNO	wysoki	0,09	75,0
mazowieckie	Pętkowo Wielkie	II/1726/1	poniżej SNO	wysoki	0,10	>95
mazowieckie	Chrzczanka Włociańska	II/1781/1	SNG-SSG	niski	0,05	66,7
mazowieckie	Sulęcín Szlachecki	II/1782/1	poniżej SNO	wysoki	0,06	88,9
mazowieckie	Łysów	II/20/1	poniżej SNO	wysoki	0,14	79,3
mazowieckie	Łaskarzew	II/3/1	SNG-SSG	niski	0,21	72,0
mazowieckie	Aleksandrów	II/368/1	SNG-SNO	umiarkowany	0,03	60,5
mazowieckie	Lipsko	II/369/1	SNG-SSG	niski	0,04	70,7
mazowieckie	Goździków	II/392/1	poniżej SNO	wysoki	0,21	90,7
mazowieckie	Guzów	II/396/1	SNG-SSG	niski	0,30	86,4
mazowieckie	Kresy	II/497/1	SNG-SNO	umiarkowany	0,06	78,1
mazowieckie	00Cun\$17	II/557/1	SNG-SSG	niski	0,05	68,4
mazowieckie	Sierpc	II/79/1	poniżej SNO	wysoki	0,05	82,2
mazowieckie	Nowe Iganie	II/964/2	poniżej SNO	wysoki	0,08	81,8
mazowieckie	Wólka Radzyńska	II/975/1	SNG-SNO	umiarkowany	0,08	60,0
mazowieckie	Okuniew	II/977/1	poniżej SNO	wysoki	0,12	80,0
mazowieckie	Płońsk	<u>II/98/1**</u>	SNG-SSG	niski	0,08	71,4
mazowieckie	Gościszka	II/998/1	SNG-SSG	niski	0,05	83,3
opolskie	Wrzoski	I/911/5	SNG-SSG	niski	0,07	77,8
opolskie	Stara Kuźnia	I/925/4	poniżej SNO	wysoki	0,09	74,2
opolskie	Gadzowice	II/1208/1	SNG-SSG	niski	0,05	75,0
opolskie	Bliszczycy	II/1209/1	SNG-SSG	niski	0,06	80,0
opolskie	Borki Wielkie	II/1345/1	poniżej SNO	wysoki	0,07	60,0
opolskie	Zawadzkie	II/1733/1	poniżej SNO	wysoki	0,06	69,2
opolskie	Łącznik	II/633/1	SNG-SSG	niski	0,09	83,8
opolskie	Kartowiczki	<u>II/918/1**</u>	SNG-SSG	niski	0,06	90,6
podkarpackie	Turza	II/1089/1	poniżej SNO	wysoki	0,11	86,7
podkarpackie	Miękisz Nowy	<u>II/1532/1**</u>	poniżej SNO	wysoki	0,19	>95
podkarpackie	Jasienica Rosielna	<u>II/1665/1**</u>	SNG-SSG	niski	0,16	78,6

Województwo	Miejscowość	Nr punktu**	Położenie zw. wody	Stopień zagrożenia	Śr. prędkość spadku zw. wody w sierpniu [m/m-c]	P [%]*
podkarpackie	Mielec	II/491/1	powyżej SSG	bardzo niski	0,08	74,4
podkarpackie	Werchrata	II/551/1	SNG-SSG	niski	0,13	92,3
podkarpackie	Wierzawice	II/553/1	powyżej SSG	bardzo niski	0,03	76,9
podkarpackie	Pysznica	II/559/1	poniżej SNO	wysoki	0,20	77,8
podkarpackie	Dębiny	II/599/2	poniżej SNO	wysoki	0,38	87,5
podkarpackie	Strzyżów	II/800/1	SNG-SNO	umiarkowany	0,13	79,4
podkarpackie	Lesko	II/815/1	powyżej SSG	bardzo niski	0,33	78,1
podkarpackie	Rabe	II/821/1	powyżej SSG	bardzo niski	0,04	58,8
podlaskie	Boksze Stare	II/1249/1	poniżej SNO	wysoki	0,07	85,0
podlaskie	Lipsk	II/1445/1	poniżej SNO	wysoki	0,04	>95
podlaskie	Morgowniki	II/1447/1	poniżej SNO	wysoki	0,13	63,2
podlaskie	Liza Stara	<u>II/1810/2**</u>	poniżej SNO	wysoki	0,05	81,8
podlaskie	Gugny	II/1818/2	poniżej SNO	wysoki	0,09	87,5
podlaskie	Kozioł	II/231/1	poniżej SNO	wysoki	0,08	72,5
podlaskie	Sobolewo	II/862/1	SNG-SNO	umiarkowany	0,03	>95
podlaskie	Wólka Terechowska	II/866/1	poniżej SNO	wysoki	0,09	90,9
podlaskie	Walify	II/967/1	poniżej SNO	wysoki	0,07	80,0
pomorskie	Gdańsk	II/1569/2	SNG-SSG	niski	0,09	63,2
pomorskie	Maszewko	II/1574/1	SNG-SNO	umiarkowany	0,06	94,4
pomorskie	Borucino	<u>II/1750/1**</u>	powyżej SSG	bardzo niski	0,05	63,6
pomorskie	Okrągła Łąka	II/205/1	SNG-SNO	umiarkowany	0,07	55,3
pomorskie	Wąglikowice	II/222/1	SNG-SNO	umiarkowany	0,03	67,7
pomorskie	Rzeczenica	II/532/1	poniżej SNO	wysoki	0,11	65,0
pomorskie	Łysomiczki	II/544/1	SNG-SNO	umiarkowany	0,05	85,2
śląskie	Podlesie	I/470/1	SNG-SSG	niski	0,36	81,1
śląskie	Morusy	I/476/2	poniżej SNO	wysoki	0,35	81,4
śląskie	Krzanowice	II/1211/1	powyżej SSG	bardzo niski	0,03	63,2
śląskie	Jaskrów	II/131/1	SNG-SNO	umiarkowany	0,23	57,4
śląskie	Częstochowa	II/1346/1	SNG-SSG	niski	0,05	70,0
śląskie	Ciasna	<u>II/1351/1**</u>	poniżej SNO	wysoki	0,12	52,6
śląskie	Zawada Pilicka	II/1401/1	poniżej SNO	wysoki	0,10	42,1
śląskie	Nędza	<u>II/1632/1**</u>	SNG-SSG	niski	0,10	61,1
śląskie	Gołysz	II/1710/1	SNG-SSG	niski	0,09	68,8
śląskie	Mazańcowice	II/1711/1	poniżej SNO	wysoki	0,20	71,4
śląskie	Piasek	II/1712/1	SNG-SNO	umiarkowany	0,11	66,7
śląskie	Konieczpol	II/294/1	SNG-SSG	niski	0,09	65,9
śląskie	Goleniowy	II/296/1	SNG-SNO	umiarkowany	0,19	68,8
śląskie	Żarnowiec	II/487/1	SNG-SNO	umiarkowany	0,19	62,2
śląskie	Wieprz	II/779/1	poniżej SNO	wysoki	0,25	52,9
śląskie	Tucznowa	II/937/1	powyżej SSG	bardzo niski	0,19	63,0
śląskie	Żyglin	II/941/1	SNG-SSG	niski	0,25	78,6
śląskie	Żeliszawice	II/953/1	poniżej SNO	wysoki	0,28	81,8

Województwo	Miejscowość	Nr punktu**	Położenie zw. wody	Stopień zagrożenia	Śr. prędkość spadku zw. wody w sierpniu [m/m-c]	P [%]*
świętokrzyskie	Białowieża	I/336/5	poniżej SNO	wysoki	0,18	84,4
świętokrzyskie	Nałęczów	I/390/4	poniżej SNO	wysoki	0,11	71,4
świętokrzyskie	Kaplica	I/474/2	SNG-SNO	umiarkowany	0,04	62,8
świętokrzyskie	Bodzentyn	II/1376/1	SNG-SNO	umiarkowany	0,23	65,0
świętokrzyskie	Ostrowiec Świętokrzyski	II/1382/1	poniżej SNO	wysoki	0,15	55,0
świętokrzyskie	Januszewice	II/1390/1	SNG-SNO	umiarkowany	0,12	36,8
świętokrzyskie	Suków	II/372/1	poniżej SNO	wysoki	0,24	87,0
świętokrzyskie	Kurozwęki	II/373/1	SNG-SNO	umiarkowany	0,06	69,6
świętokrzyskie	Chmielnik	<u>II/377/1**</u>	powyżej SSG	bardzo niski	0,07	82,9
świętokrzyskie	Michałów	II/379/1	poniżej SNO	wysoki	0,26	69,6
świętokrzyskie	Wolica	II/382/1	SNG-SSG	niski	0,26	83,9
świętokrzyskie	Skarbką	II/492/1	poniżej SNO	wysoki	0,14	63,2
świętokrzyskie	Bocheniec	II/499/1	poniżej SNO	wysoki	0,24	78,6
świętokrzyskie	Ściegna	<u>II/875/1**</u>	poniżej SNO	wysoki	0,45	76,9
świętokrzyskie	Kielce	II/876/1	SNG-SNO	umiarkowany	0,18	67,9
warmińsko-mazurskie	Doba	<u>I/537/4**</u>	SNG-SSG	niski	0,06	80,6
warmińsko-mazurskie	Mikołajki	II/1435/1	SNG-SSG	niski	0,05	85,7
warmińsko-mazurskie	Muszaki	II/1438/1	poniżej SNO	wysoki	0,05	>95
warmińsko-mazurskie	Zieleniec	II/1440/1	poniżej SNO	wysoki	0,12	94,7
warmińsko-mazurskie	Pisanica	II/1451/1	SNG-SNO	umiarkowany	0,09	73,7
warmińsko-mazurskie	Kośmidry	<u>II/1454/1**</u>	poniżej SNO	wysoki	0,07	73,7
warmińsko-mazurskie	Karczowiska Górne	II/1565/1	SNG-SNO	umiarkowany	0,13	68,4
warmińsko-mazurskie	Łoskajmy	II/1578/1	SNG-SNO	umiarkowany	0,04	66,7
warmińsko-mazurskie	Samborowo	II/217/1	SNG-SSG	niski	0,10	68,1
warmińsko-mazurskie	Bartoszyce	II/244/1	SNG-SNO	umiarkowany	0,05	68,9
warmińsko-mazurskie	Kobuły	II/250/1	poniżej SNO	wysoki	0,05	73,7
warmińsko-mazurskie	Buczyniec	II/256/1	powyżej SSG	bardzo niski	0,07	62,5
wielkopolskie	Czachurki	I/428/4	poniżej SNO	wysoki	0,09	80,0
wielkopolskie	Sepno	<u>I/920/4**</u>	SNG-SSG	niski	0,10	41,9
wielkopolskie	Łuszczewo	II/1273/1	SNG-SNO	umiarkowany	0,09	78,9
wielkopolskie	Sowia Góra	II/1324/1	powyżej SSG	bardzo niski	0,04	82,4
wielkopolskie	Brudzewek	II/1426/1	poniżej SNO	wysoki	0,06	94,4
wielkopolskie	Konin	II/27/3	SNG-SSG	niski	0,10	60,9
wielkopolskie	Obrzycko	<u>II/404/1**</u>	poniżej SNO	wysoki	0,15	75,0
wielkopolskie	Leszno	II/743/1	SNG-SSG	niski	0,07	57,7
wielkopolskie	Chachalnia	II/749/1	SNG-SSG	niski	0,11	66,7
wielkopolskie	Koło	II/902/1	SNG-SNO	umiarkowany	0,09	68,0
zachodniopomorskie	Świnoujście	I/1090/1	powyżej SSG	bardzo niski	0,10	71,4
zachodniopomorskie	Gądko	II/1032/1	poniżej SNO	wysoki	0,05	85,7
zachodniopomorskie	Krzywnica	II/1101/1	SNG-SNO	umiarkowany	0,10	68,4
zachodniopomorskie	Koszewko	II/1103/1	SNG-SNO	umiarkowany	0,05	83,3

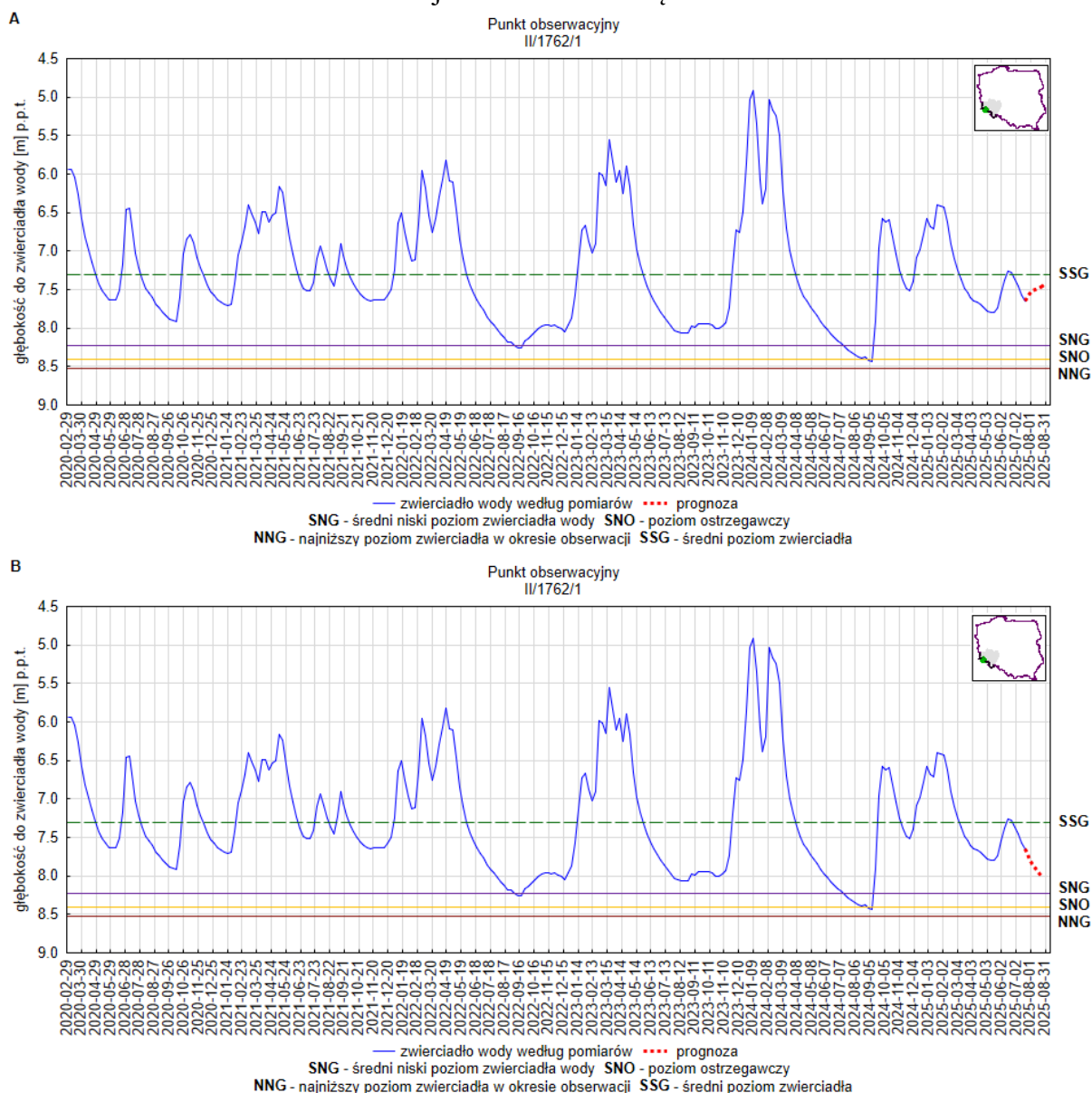
Województwo	Miejscowość	Nr punktu**	Położenie zw. wody	Stopień zagrożenia	Śr. prędkość spadku zw. wody w sierpniu [m/m-c]	P [%]*
zachodniopomorskie	Ognica	II/1105/1	SNG-SSG	niski	0,15	75,0
zachodniopomorskie	Okole	<u>II/1344/1</u> **	poniżej SNO	wysoki	0,05	92,3
zachodniopomorskie	Szczecin	<u>II/1702/1</u> **	powyżej SSG	bardzo niski	0,08	42,9
zachodniopomorskie	Krępsko	II/1759/1	SNG-SNO	umiarkowany	0,16	76,9
zachodniopomorskie	Imno	II/1800/1	SNG-SSG	niski	0,13	90,0
zachodniopomorskie	Biały Zdrój	II/1801/1	SNG-SSG	niski	0,03	81,8
zachodniopomorskie	Polanów	II/415/1	SNG-SNO	umiarkowany	0,04	86,0
zachodniopomorskie	Turowo	II/417/1	poniżej SNO	wysoki	0,06	80,5
zachodniopomorskie	Czaplinek	II/418/1	SNG-SNO	umiarkowany	0,04	82,1
zachodniopomorskie	Rzędziny	II/469/1	SNG-SSG	niski	0,09	60,0

* obliczone prawdopodobieństwo dla trendu spadkowego położenia zwierciadła w prognozowanym okresie, zgodnie ze scenariuszem B

** numer punktu, dla którego zamieszczono wykresy położenia zwierciadła wody w dalszej części opisu prognozy

Dla każdego województwa dla wybranych stacji hydrogeologicznych przedstawiono ilustrację graficzną w postaci wykresów z wynikami symulacji rozwoju sytuacji hydrogeologicznej według scenariuszy: A i B (Rys. 2-28). Zwraca się uwagę, że zamieszczone wykresy obejmują jedynie fragment całego okresu obserwacji w danych punktach monitoringowych i przedstawiają zapis ograniczony do pomiarów z ostatnich sześciu lat.

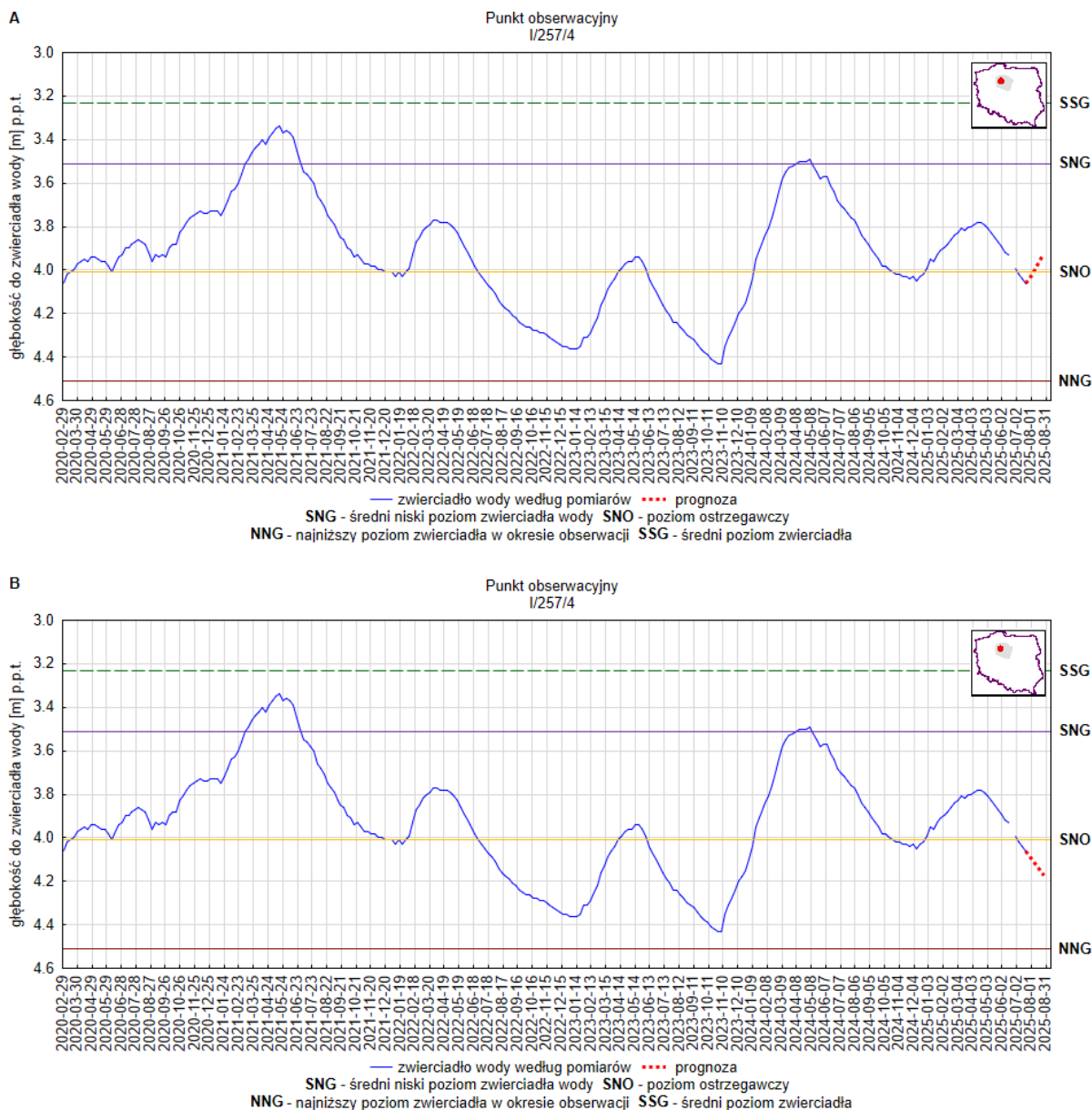
Województwo dolnośląskie



Rys. 2. Prognoza dotycząca stanu wód o zwierciadle swobodnym (gruntowych) na okres 01.08.2025 –31.08.2025 r. – stacja hydrogeologiczna nr II/1762/1 w miejscowości Szklarska Poręba (woj. dolnośląskie). **A** – prognoza przy założeniu scenariusza A; **B** – prognoza przy założeniu scenariusza B

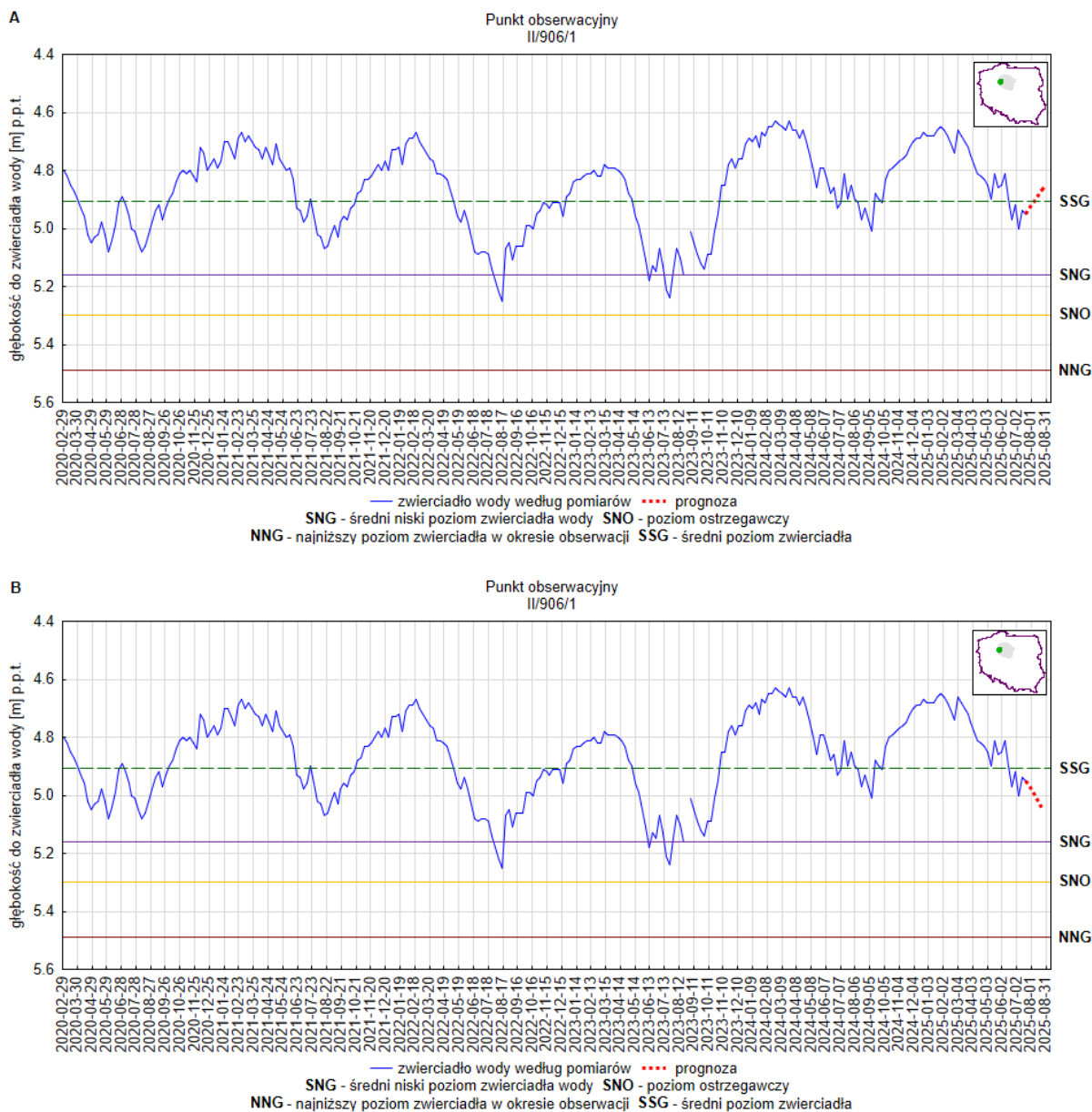
W punkcie obserwacyjnym nr II/1762/1 w miejscowości Szklarska Poręba w województwie dolnośląskim nie prognozuje się wystąpienia niżówki hydrogeologicznej (scenariusz A i B; rys. 2).

Województwo kujawsko-pomorskie



Rys. 3. Prognoza dotycząca stanu wód o zwierniadiu swobodnym (gruntowych) na okres 01.08.2025 –31.08.2025 r. – stacja hydrogeologiczna nr I/257/4 w miejscowości Jagodowo (woj. kujawsko-pomorskie). **A** – prognoza przy założeniu scenariusza A; **B** – prognoza przy założeniu scenariusza B

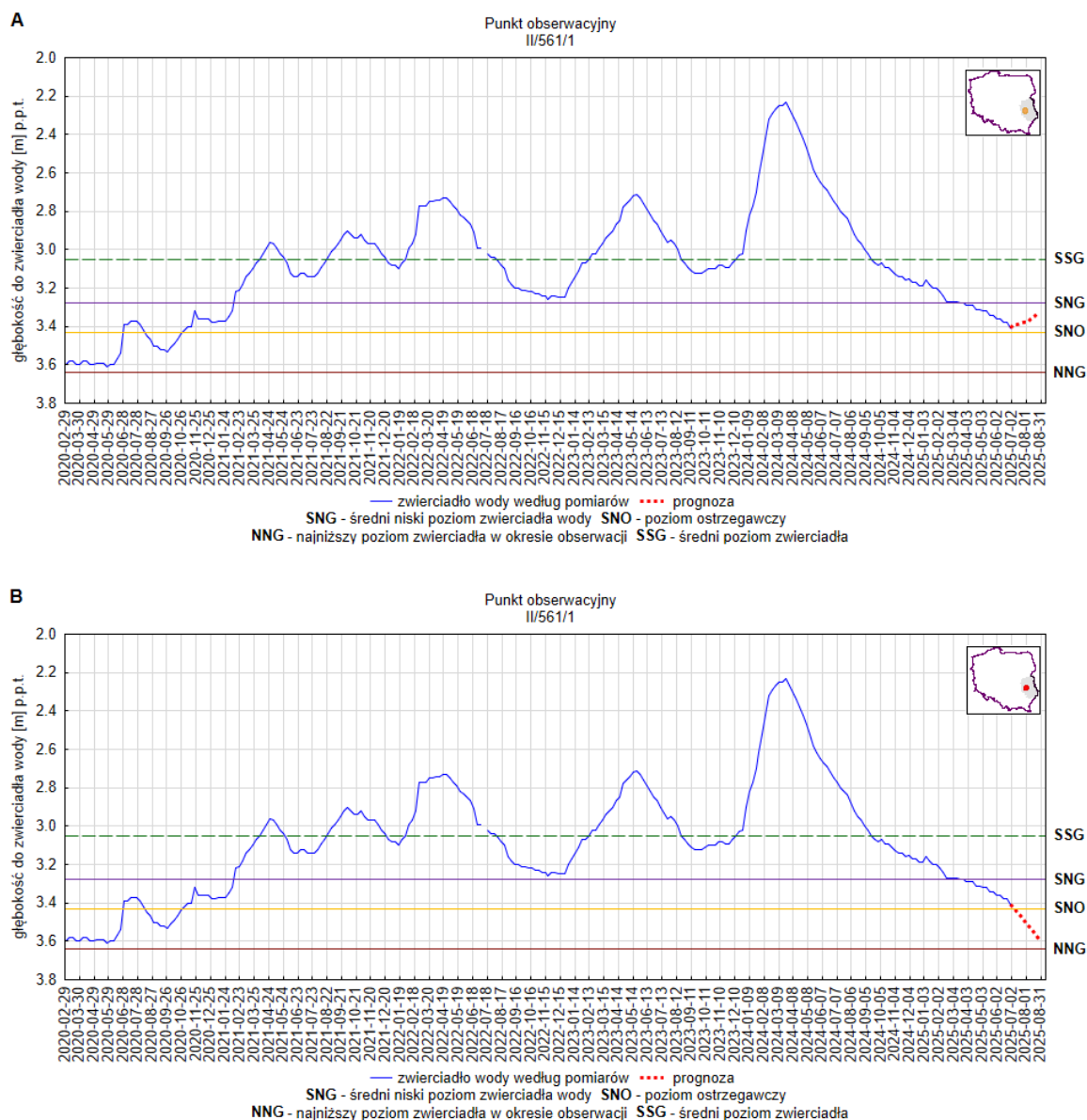
W punkcie obserwacyjnym nr I/257/4 w miejscowości Jagodowo w województwie kujawsko-pomorskim prognozuje się kontynuację niżówki hydrogeologicznej (scenariusz B; rys. 3).



Rys. 4. Prognoza dotycząca stanu wód o zwierciadle swobodnym (gruntowych) na okres 01.08.2025 –31.08.2025 r. – stacja hydrogeologiczna nr II/906/1 w miejscowości Rozwarzyn (woj. kujawsko-pomorskie). **A** – prognoza przy założeniu scenariusza A; **B** – prognoza przy założeniu scenariusza B

W punkcie obserwacyjnym nr II/906/1 w miejscowości Rozwarzyn w województwie kujawsko-pomorskim nie prognozuje się wystąpienia niżówki hydrogeologicznej (scenariusz A i B; rys. 4).

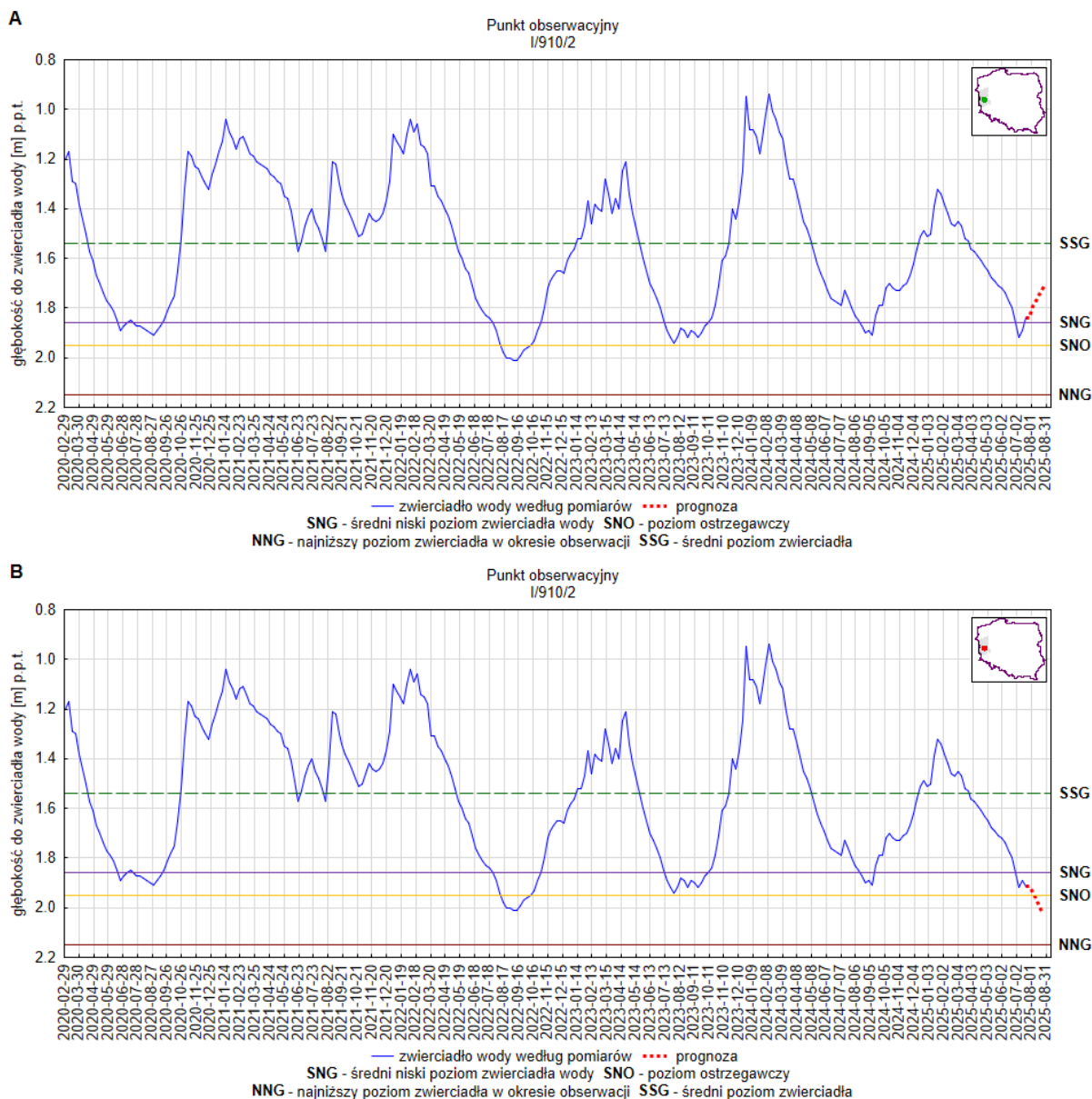
Województwo lubelskie



Rys. 5. Prognoza dotycząca stanu wód o zwierciadle swobodnym (gruntowych) na okres 01.08.2025 –31.08.2025 r. – stacja hydrogeologiczna nr II/561/1 w miejscowości Babin (woj. lubelskie).
A – prognoza przy założeniu scenariusza A; B – prognoza przy założeniu scenariusza B

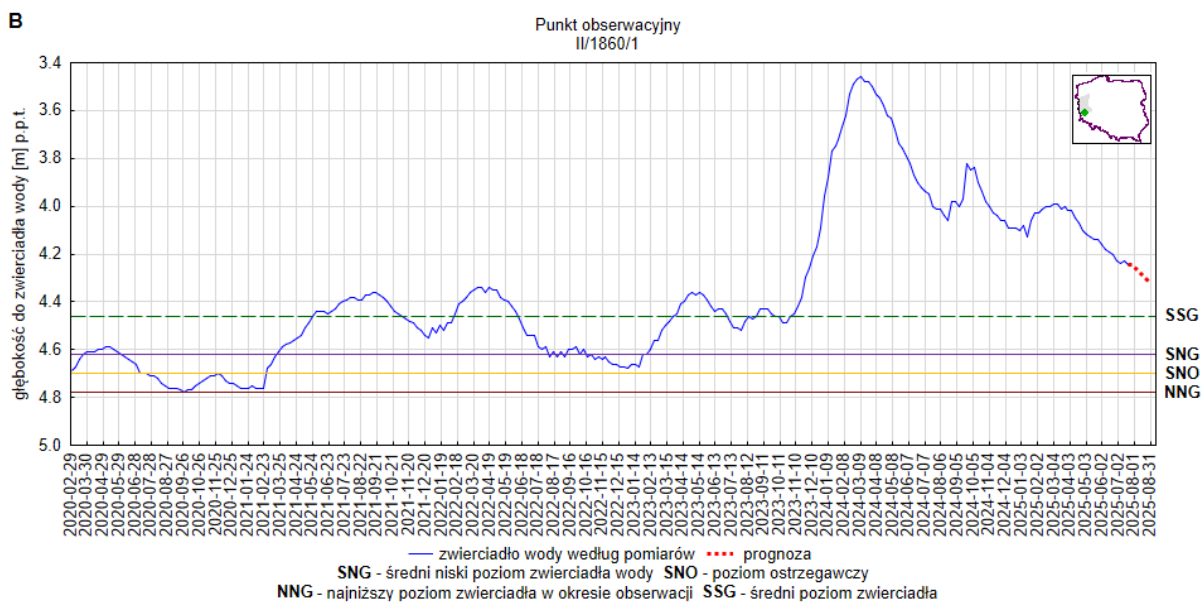
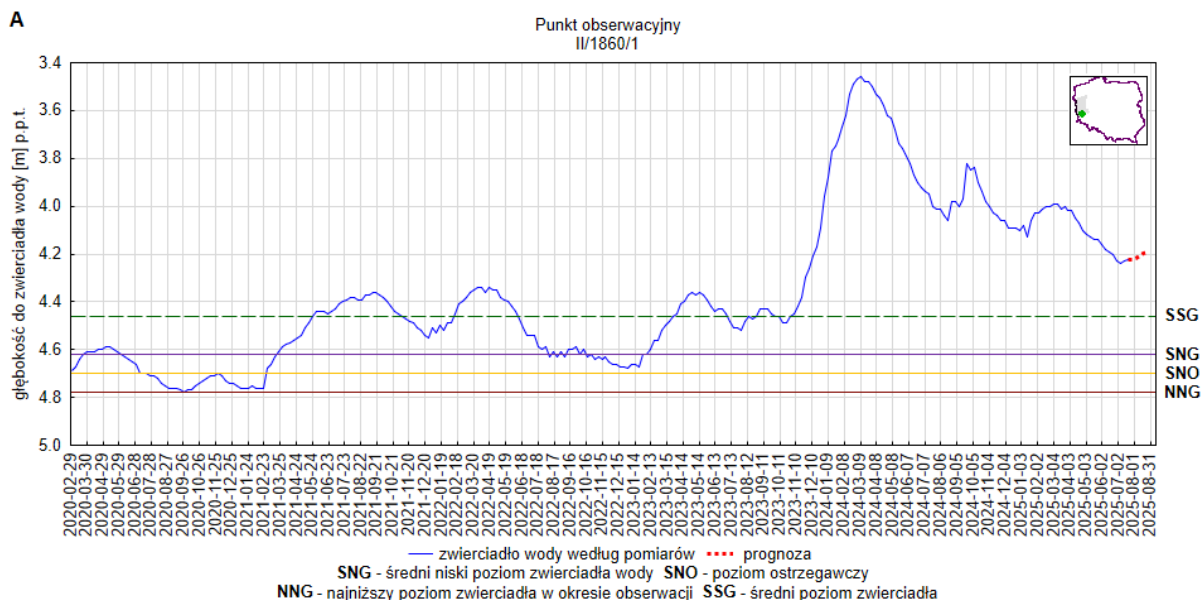
W punkcie obserwacyjnym nr II/561/1 w miejscowości Babin w województwie lubelskim prognozuje się wystąpienie niżówki hydrogeologicznej (scenariusz B; rys. 5).

Województwo lubuskie



Rys. 6. Prognoza dotycząca stanu wód o zwierciadle swobodnym (gruntowych) na okres 01.08.2025 –31.08.2025 r. – stacja hydrogeologiczna nr I/910/2 w miejscowości Wysokie (woj. lubuskie)
A – prognoza przy założeniu scenariusza A; B – prognoza przy założeniu scenariusza B

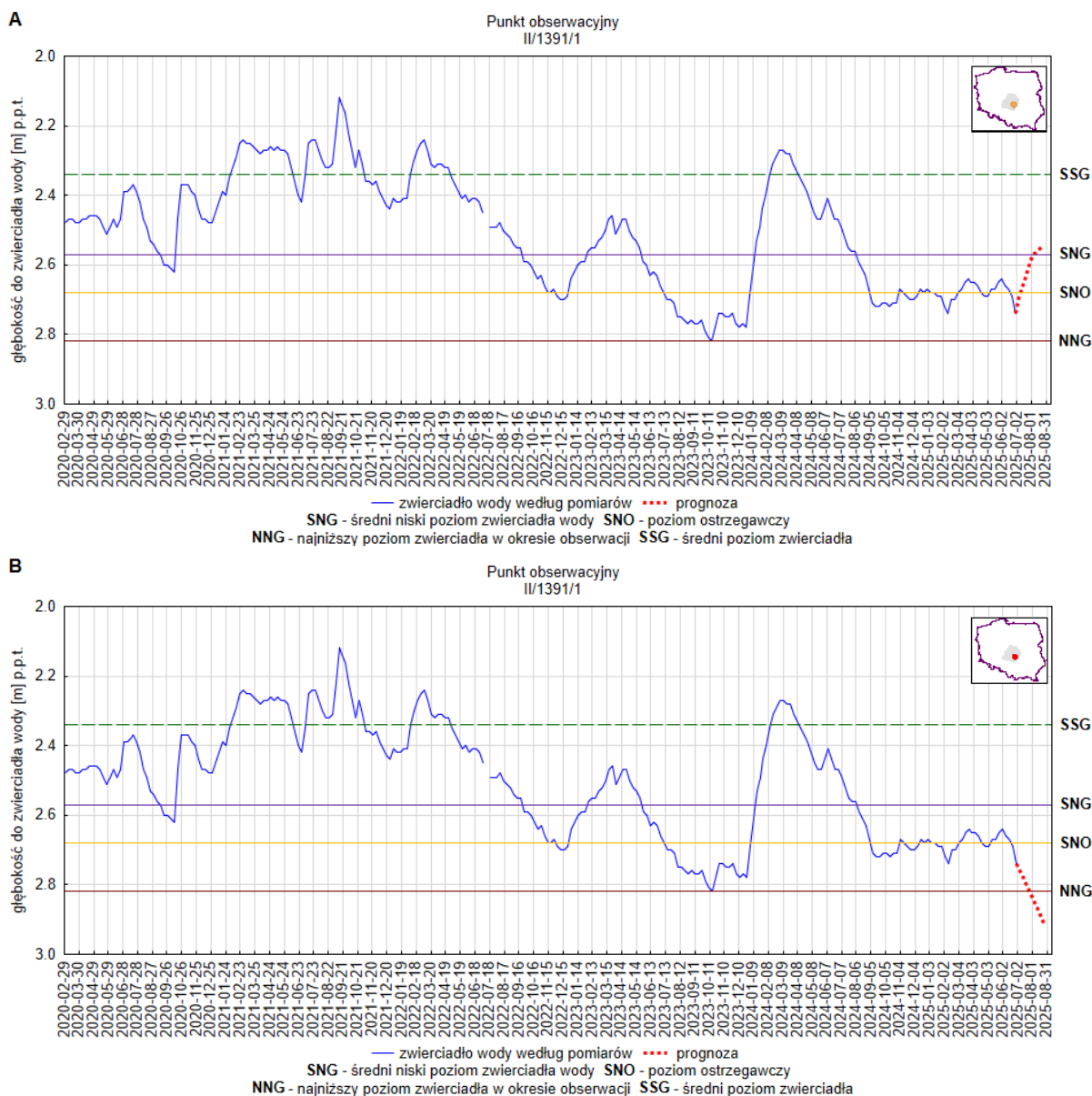
W punkcie obserwacyjnym nr I/910/2 w miejscowości Wysokie w województwie lubuskim prognozuje się wystąpienie niżówki hydrogeologicznej (scenariusz B; rys. 6).



Rys. 7. Prognoza dotycząca stanu wód o zwierciadle swobodnym (gruntowych) na okres 01.08.2025 – 31.08.2025 r. – stacja hydrogeologiczna nr II/1860/1 w miejscowości Szprotawa (woj. lubuskie)
A – prognoza przy założeniu scenariusza A; **B** – prognoza przy założeniu scenariusza B

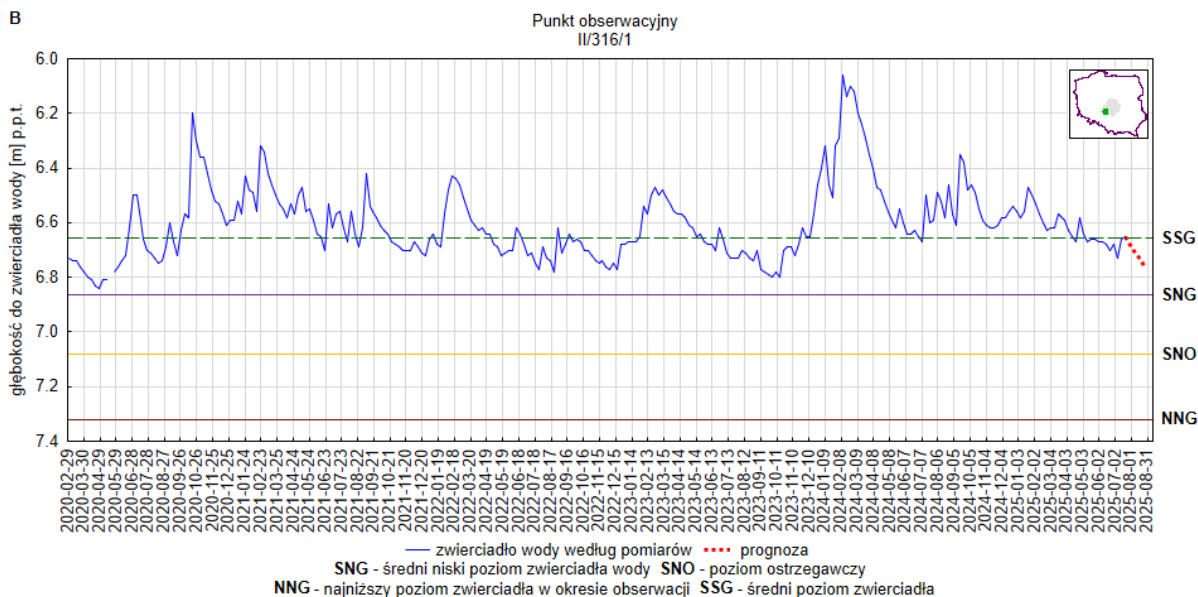
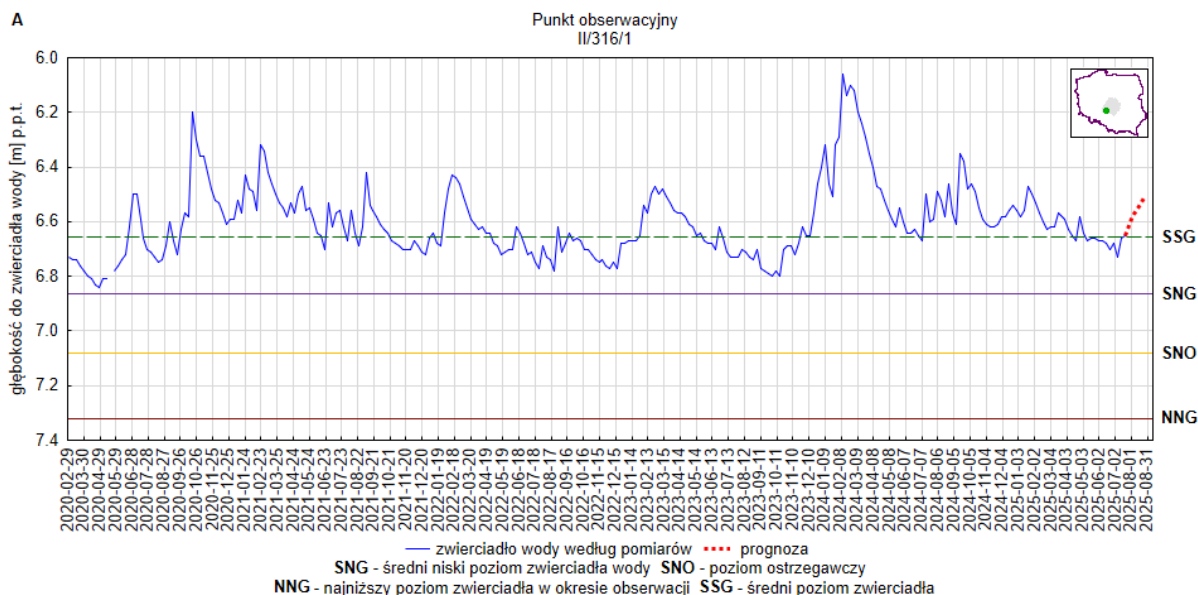
W punkcie obserwacyjnym nr II/1860/1 w miejscowości Szprotawa w województwie lubuskim nie prognozuje się wystąpienia niżówki hydrogeologicznej (scenariusz A i B; rys. 7).

Województwo łódzkie



Rys. 8. Prognoza dotycząca stanu wód o zwierciadle swobodnym (gruntowych) na okres 01.08.2025 –31.08.2025 r. – stacja hydrogeologiczna nr II/1391/1 w miejscowości Sulejów (woj. łódzkie).
A – prognoza przy założeniu scenariusza A; B – prognoza przy założeniu scenariusza B

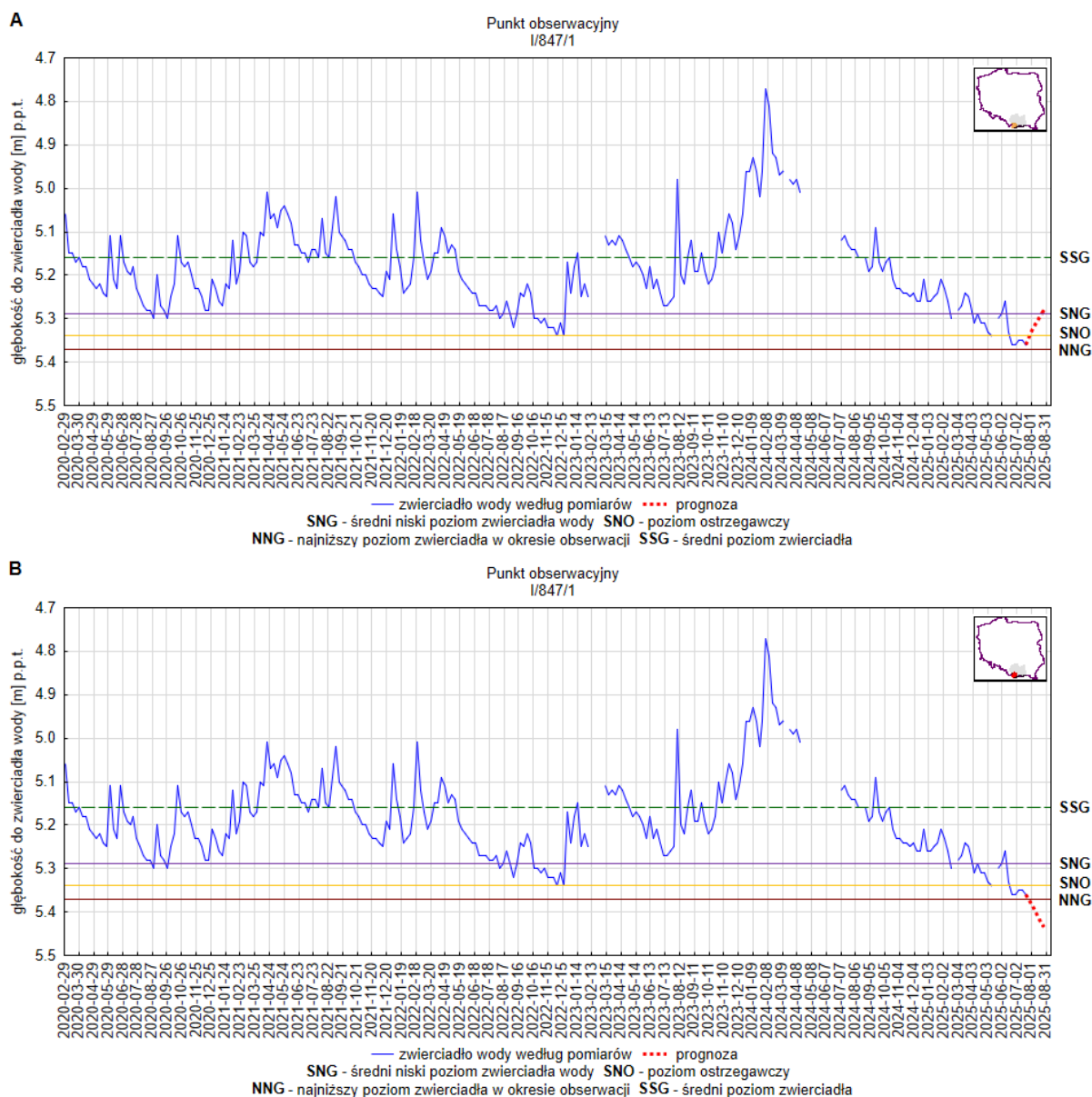
W punkcie obserwacyjnym nr II/1391/1 w miejscowości Sulejów w województwie łódzkim prognozuje się kontynuację niżówki hydrogeologicznej (scenariusz B; rys. 8).



Rys. 9. Prognoza dotycząca stanu wód o zwierciadle swobodnym (gruntowych) na okres 01.08.2025 –31.08.2025 r. – stacja hydrogeologiczna nr II/316/1 w miejscowości Masłowice (woj. łódzkie).
A – prognoza przy założeniu scenariusza A; B – prognoza przy założeniu scenariusza B

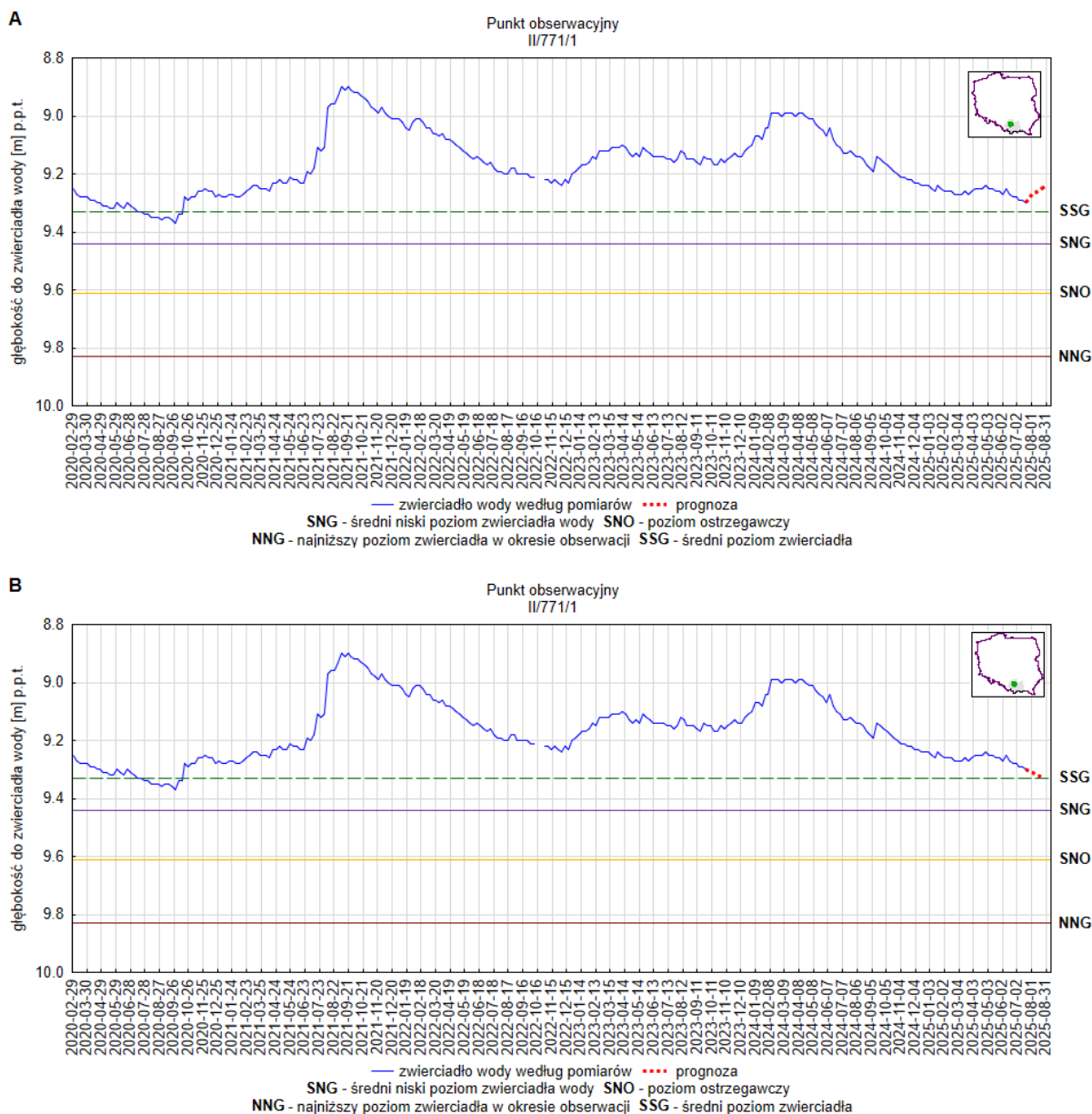
W punkcie obserwacyjnym nr II/316/1 w miejscowości Masłowice w województwie łódzkim nie prognozuje się wystąpienia niżówki hydrogeologicznej (scenariusz A i B; rys. 9).

Województwo małopolskie



Rys. 10. Prognoza dotycząca stanu wód o zwierciadle swobodnym (gruntowych) na okres 01.08.2025 –31.08.2025 r. – stacja hydrogeologiczna nr I/847/1 w miejscowości Jabłonka (woj. małopolskie).
A – prognoza przy założeniu scenariusza A; **B** – prognoza przy założeniu scenariusza B

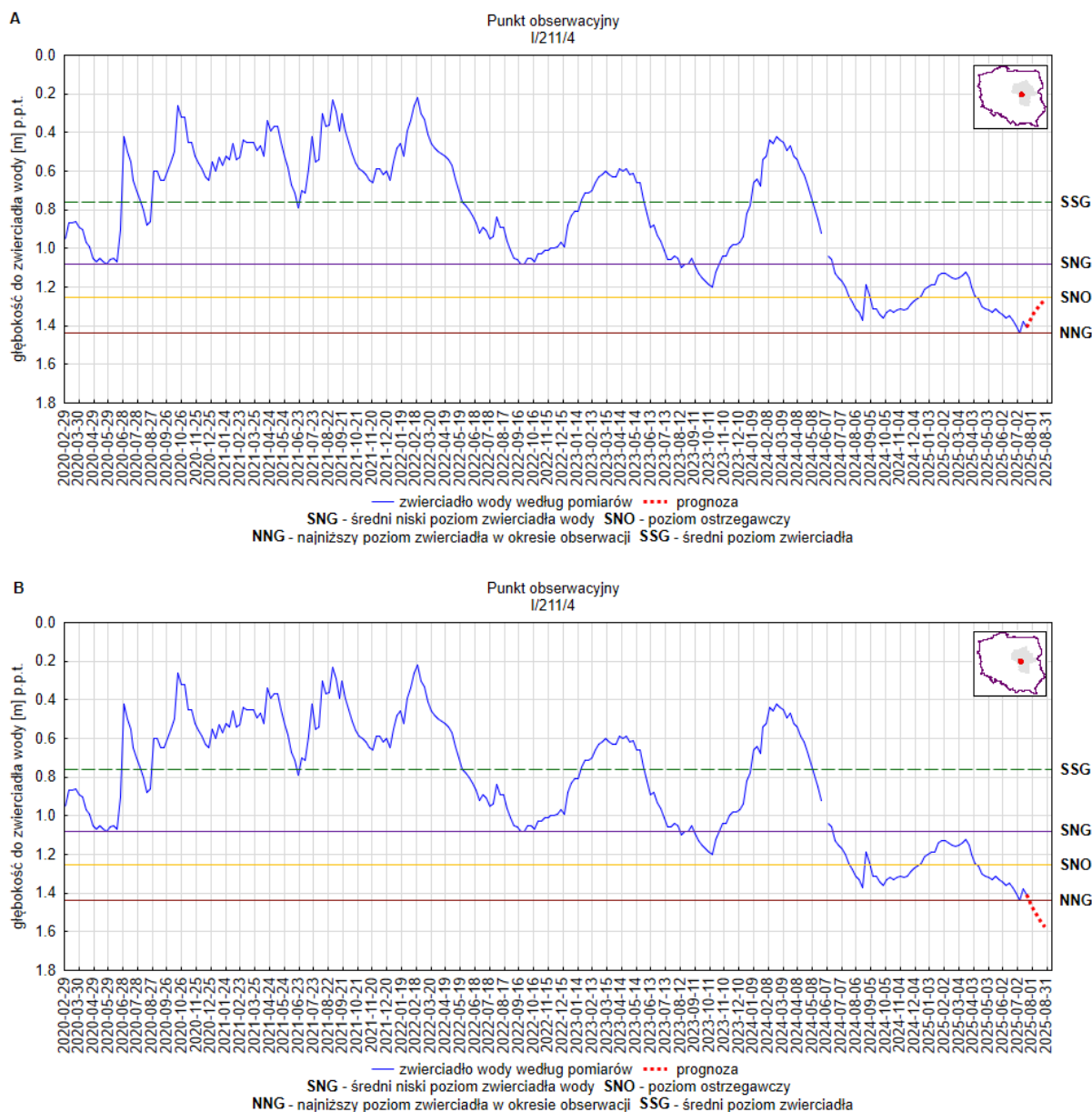
W punkcie obserwacyjnym nr I/847/1 w miejscowości Jabłonka w województwie małopolskim prognozuje się kontynuację niżówki hydrogeologicznej (scenariusz B; rys. 10).



Rys. 11. Prognoza dotycząca stanu wód o zwierciadle swobodnym (gruntowych) na okres 01.08.2025 –31.08.2025 r. – stacja hydrogeologiczna nr II/771/1 w miejscowości Kraków (woj. małopolskie). **A** – prognoza przy założeniu scenariusza A; **B** – prognoza przy założeniu scenariusza B

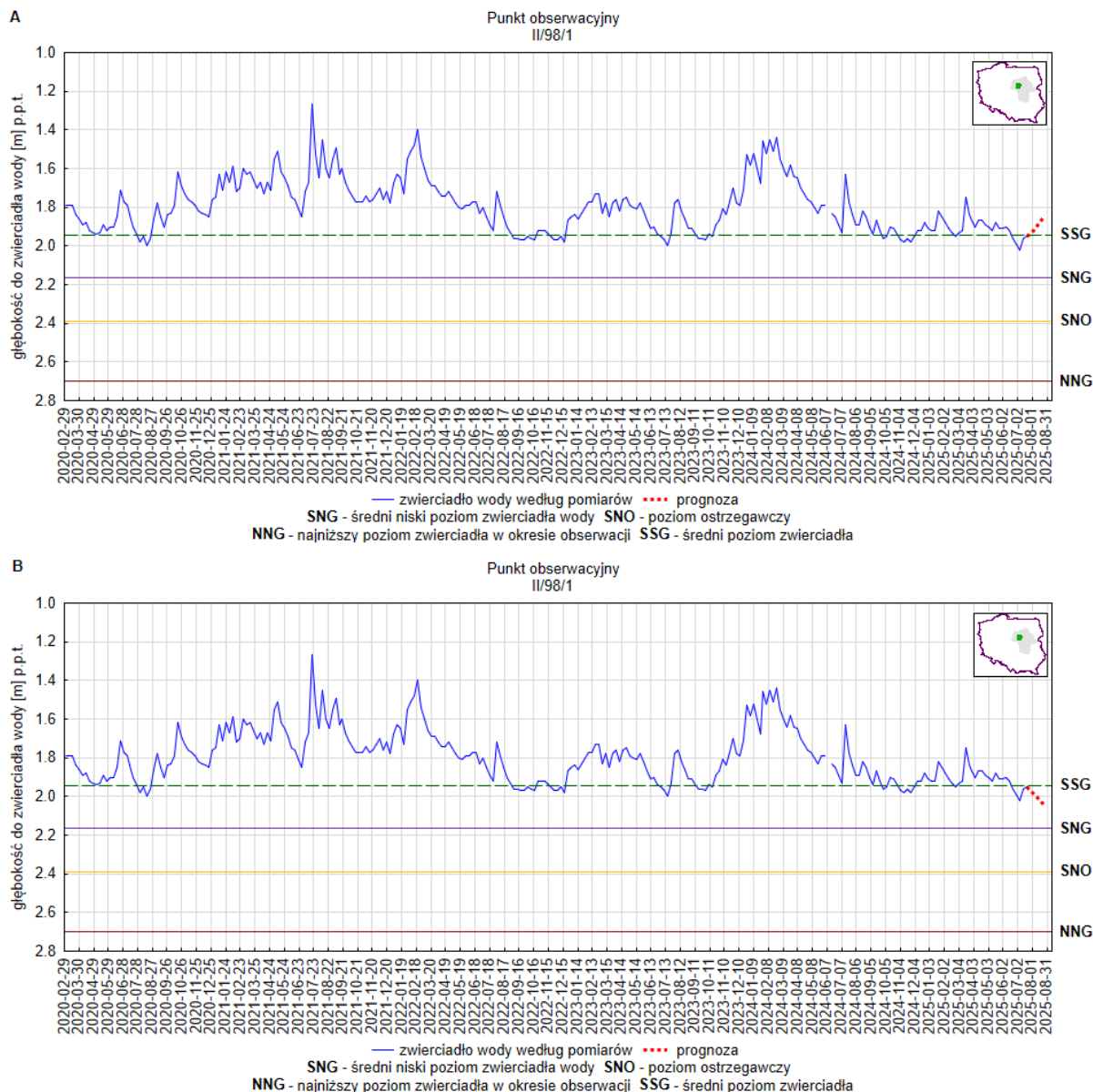
W punkcie obserwacyjnym nr II/771/1 w miejscowości Kraków w województwie małopolskim nie prognozuje się wystąpienia niżówki hydrogeologicznej (scenariusz A i B; rys. 11).

Województwo mazowieckie



Rys. 12. Prognoza dotycząca stanu wód o zwiędziadle swobodnym (gruntowych) na okres 01.08.2025 –31.08.2025 r. – stacja hydrogeologiczna nr I/211/4 w miejscowości Brwinów (woj. mazowieckie). **A** – prognoza przy założeniu scenariusza A; **B** – prognoza przy założeniu scenariusza B

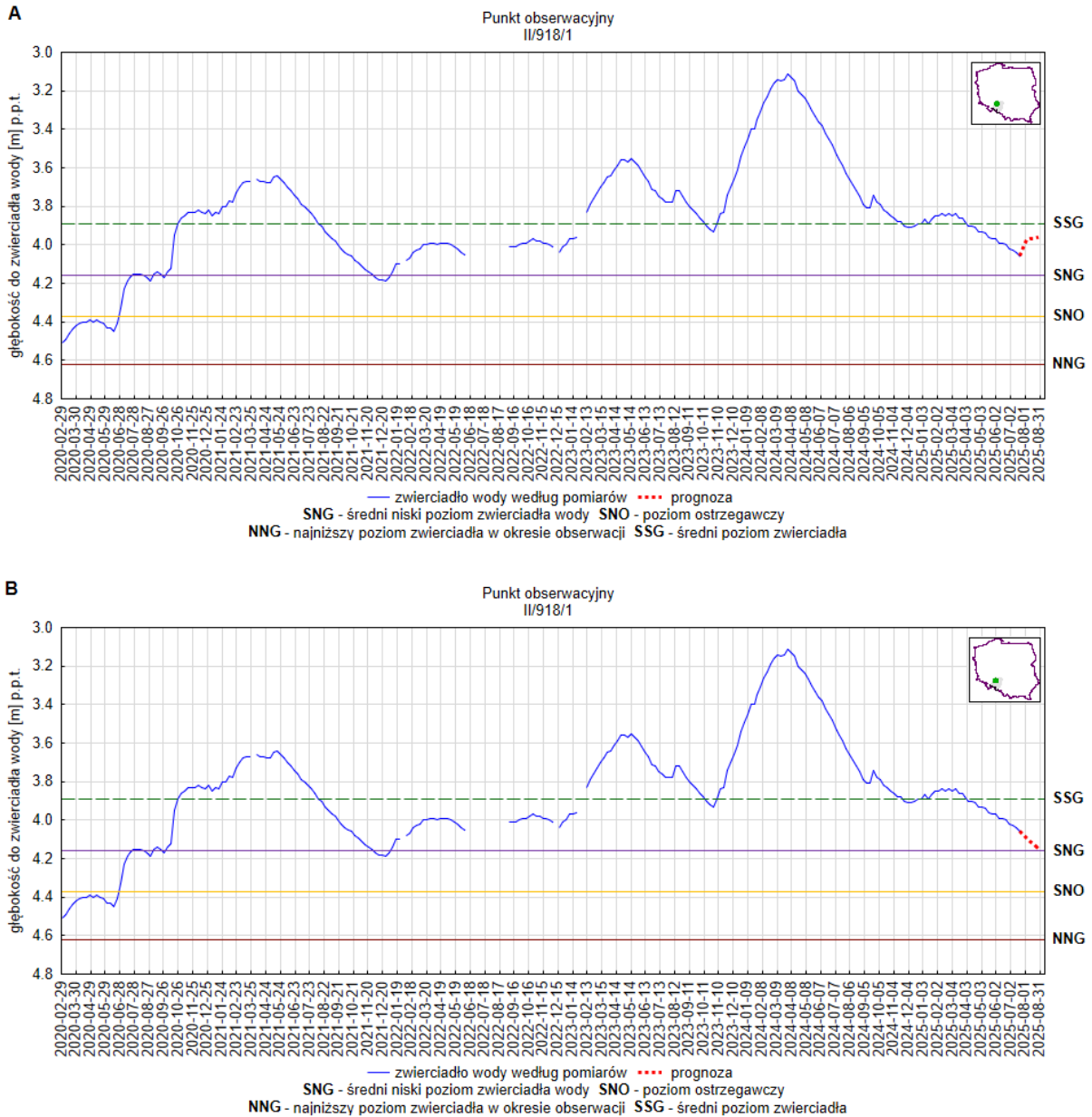
W punkcie obserwacyjnym nr I/211/4 w miejscowości Brwinów w województwie mazowieckim prognozuje się kontynuację niżówki hydrogeologicznej (scenariusz A i B; rys. 12).



Rys. 13. Prognoza dotycząca stanu wód o zwierciadle swobodnym (gruntowych) na okres 01.08.2025 –31.08.2025 r. – stacja hydrogeologiczna nr II/98/1 w miejscowości Płońsk (woj. mazowieckie). **A** – prognoza przy założeniu scenariusza A; **B** – prognoza przy założeniu scenariusza B

W punkcie obserwacyjnym nr II/98/1 w miejscowości Płońsk w województwie mazowieckim nie prognozuje się wystąpienia niżówki hydrogeologicznej (scenariusz A i B; rys. 13).

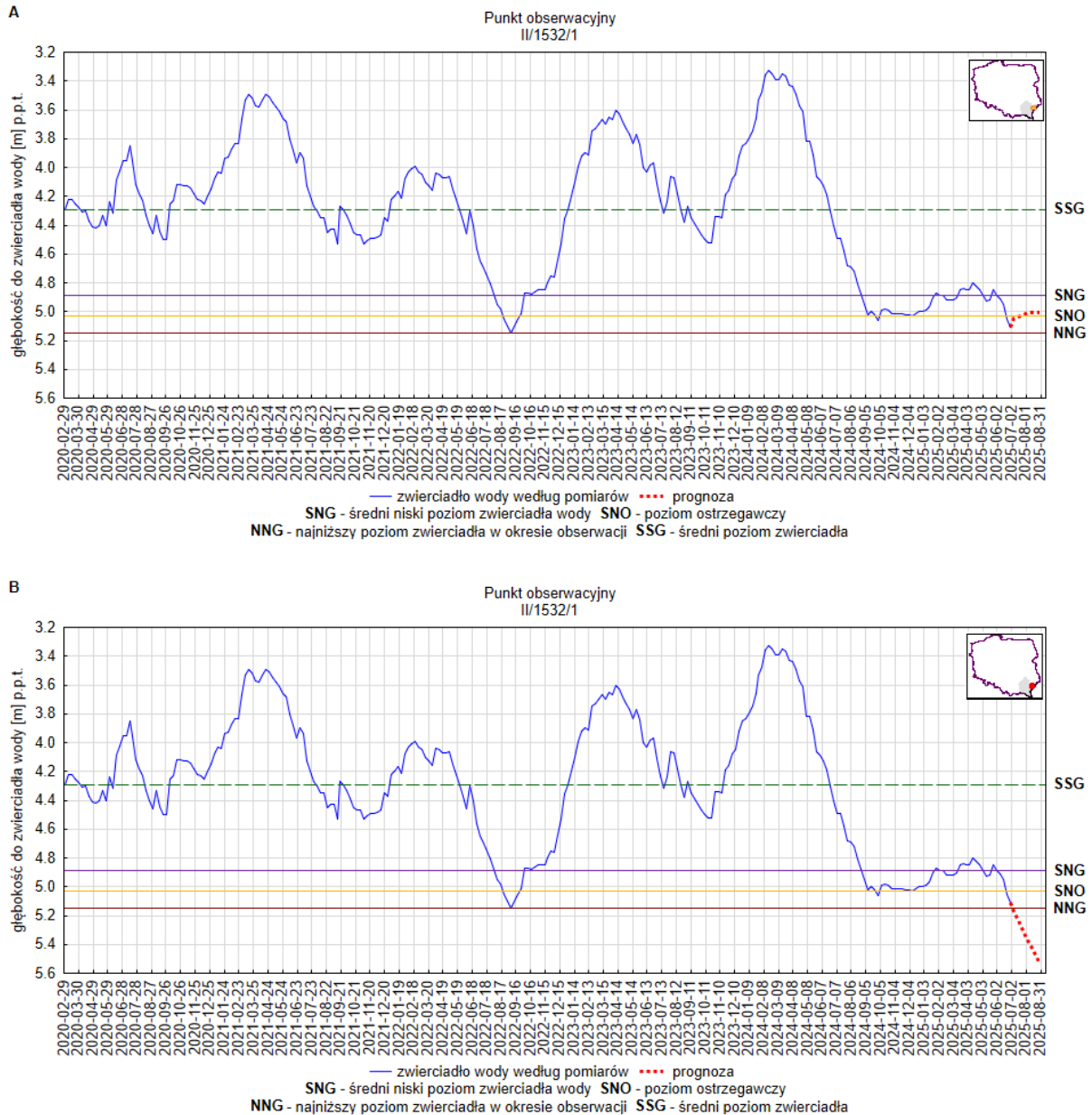
Województwo opolskie



Rys. 14. Prognoza dotycząca stanu wód o zwierciadle swobodnym (gruntowych) na okres 01.08.2025 –31.08.2025 r. – stacja hydrogeologiczna nr II/918/1 w miejscowości Karłowiczki (woj. opolskie).
A – prognoza przy założeniu scenariusza A; **B** – prognoza przy założeniu scenariusza B

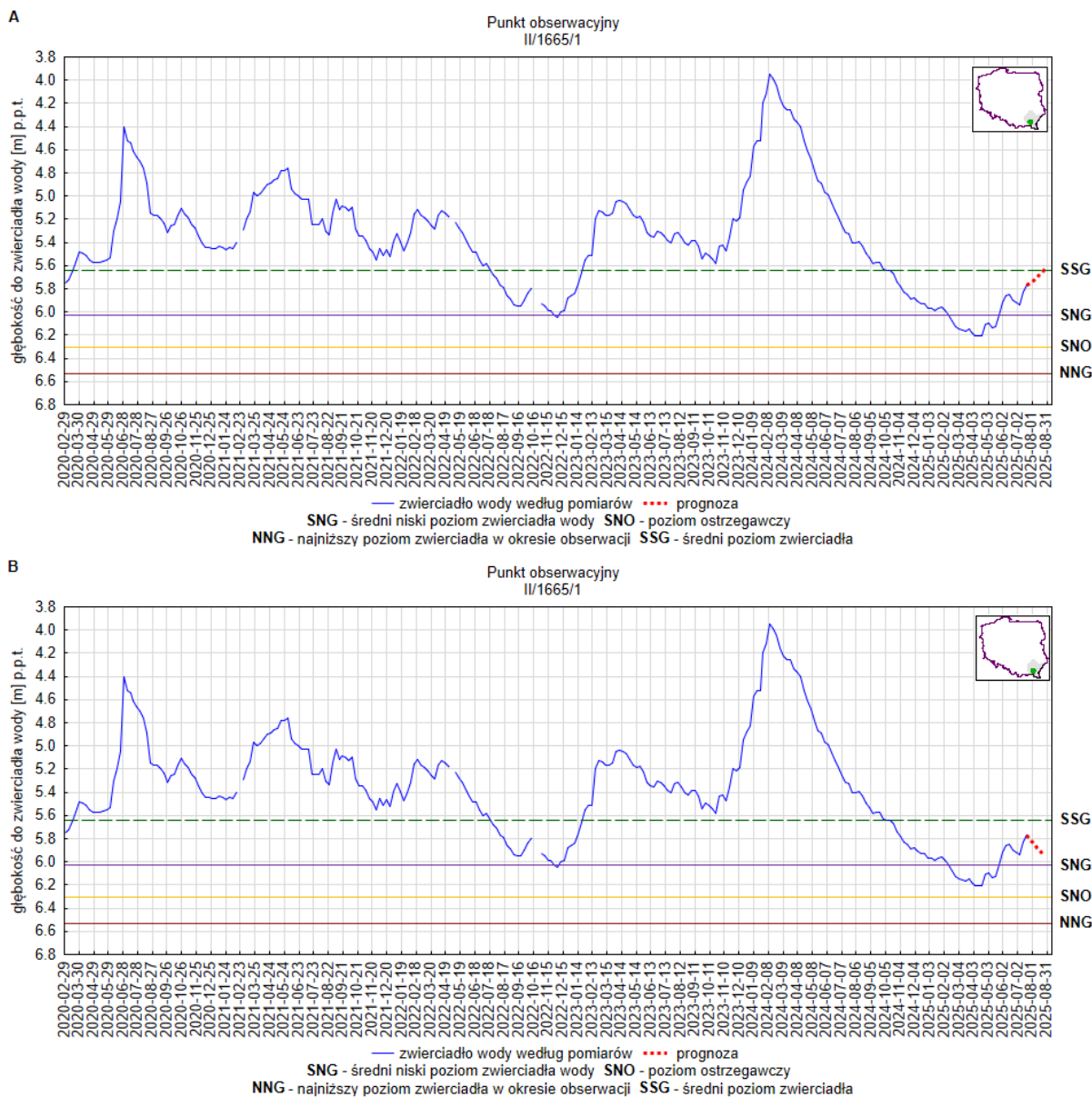
W punkcie obserwacyjnym II/918/1 w miejscowości Karłowiczki w województwie opolskim nie prognozuje się wystąpienia niżówki hydrogeologicznej (scenariusz A i B; rys. 14).

Województwo podkarpackie



Rys. 15. Prognoza dotycząca stanu wód o zwierciadle swobodnym (gruntowych) na okres 01.08.2025 –31.08.2025 r. – stacja hydrogeologiczna nr II/1532/1 w miejscowości Mięsz Nowy (woj. podkarpackie). **A** – prognoza przy założeniu scenariusza A; **B** – prognoza przy założeniu scenariusza B

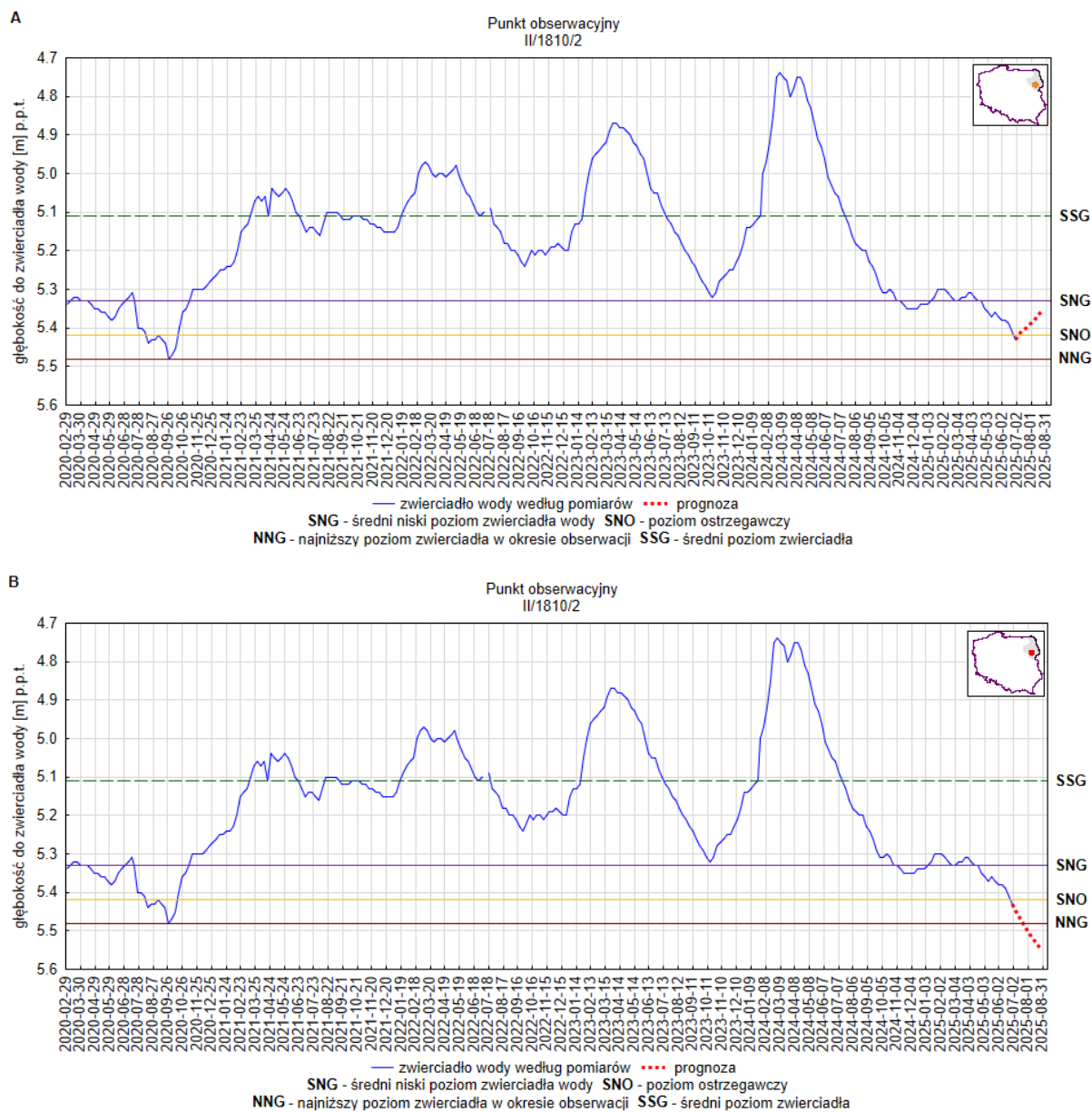
W punkcie obserwacyjnym nr II/1532/1 w miejscowości Mięsz Nowy w województwie podkarpackim prognozuje się kontynuację niżówki hydrogeologicznej (scenariusz B; rys. 15).



Rys. 16. Prognoza dotycząca stanu wód o zwierciadle swobodnym (gruntowych) na okres 01.08.2025 –31.08.2025 r. – stacja hydrogeologiczna nr II/1665/1 w miejscowości Jasienica Rosielna (woj. podkarpackie). **A** – prognoza przy założeniu scenariusza A; **B** – prognoza przy założeniu scenariusza B

W punkcie obserwacyjnym nr II/1665/1 w miejscowości Jasienica Rosielna w województwie podkarpackim nie prognozuje się wystąpienia niżówki hydrogeologicznej (scenariusz A i B; rys. 16).

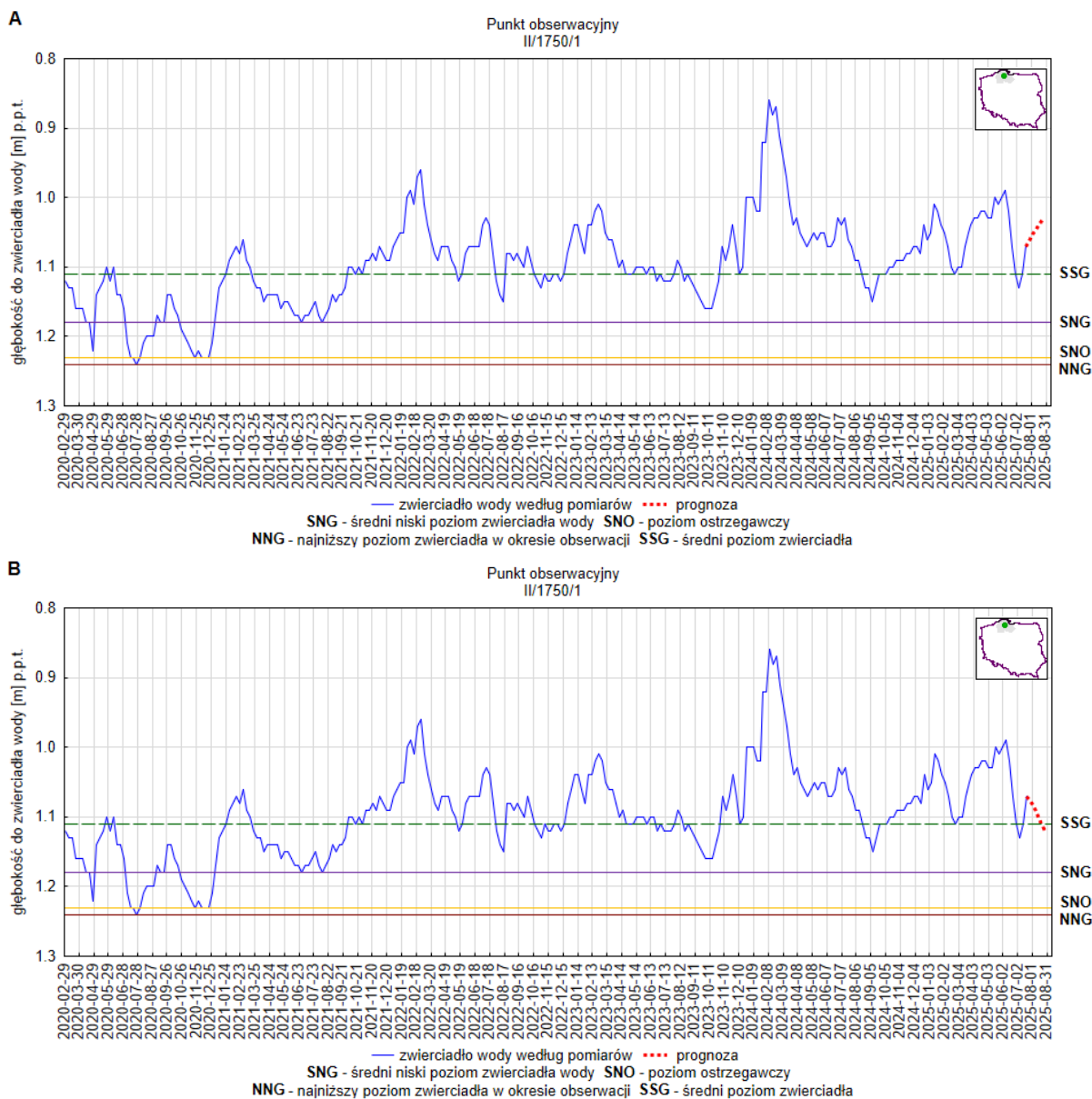
Województwo podlaskie



Rys. 17. Prognoza dotycząca stanu wód o zwierciadle swobodnym (gruntowych) na okres 01.08.2025 –31.08.2025 r.- stacja hydrogeologiczna nr II/1810/2 w miejscowości Liza Stara (woj. podlaskie). **A** – prognoza przy założeniu scenariusza A; **B** – prognoza przy założeniu scenariusza B

W punkcie obserwacyjnym II/1810/2 w miejscowości Liza Stara w województwie podlaskim prognozuje się wystąpienie niżówki hydrogeologicznej (scenariusz B; rys. 17).

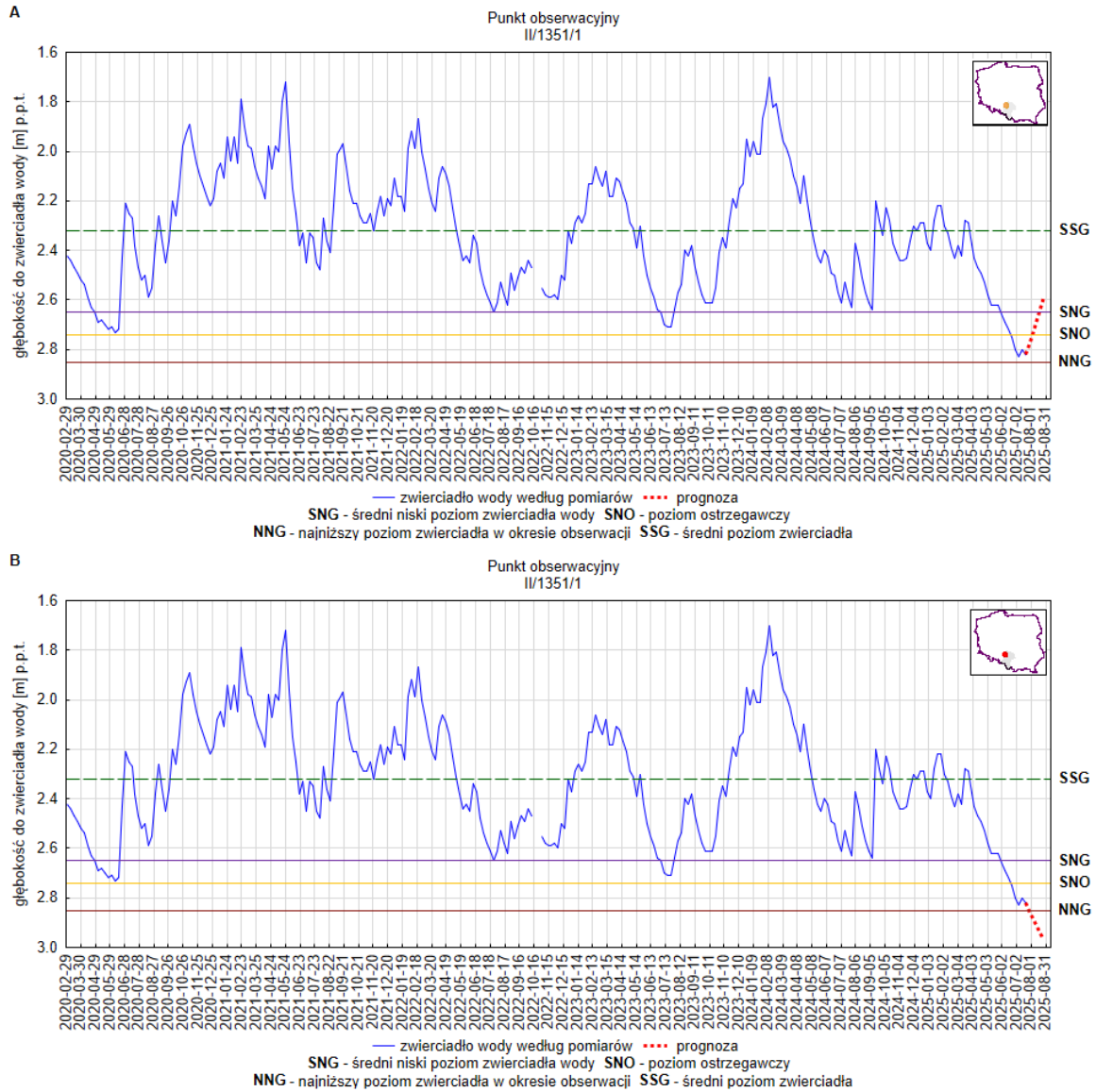
Województwo pomorskie



Rys. 18. Prognoza dotycząca stanu wód o zwierciadle swobodnym (gruntowych) na okres 01.08.2025 -31.08.2025 r. – stacja hydrogeologiczna nr II/1750/1 w miejscowości Borucino (woj. pomorskie).
A – prognoza przy założeniu scenariusza A; B – prognoza przy założeniu scenariusza B

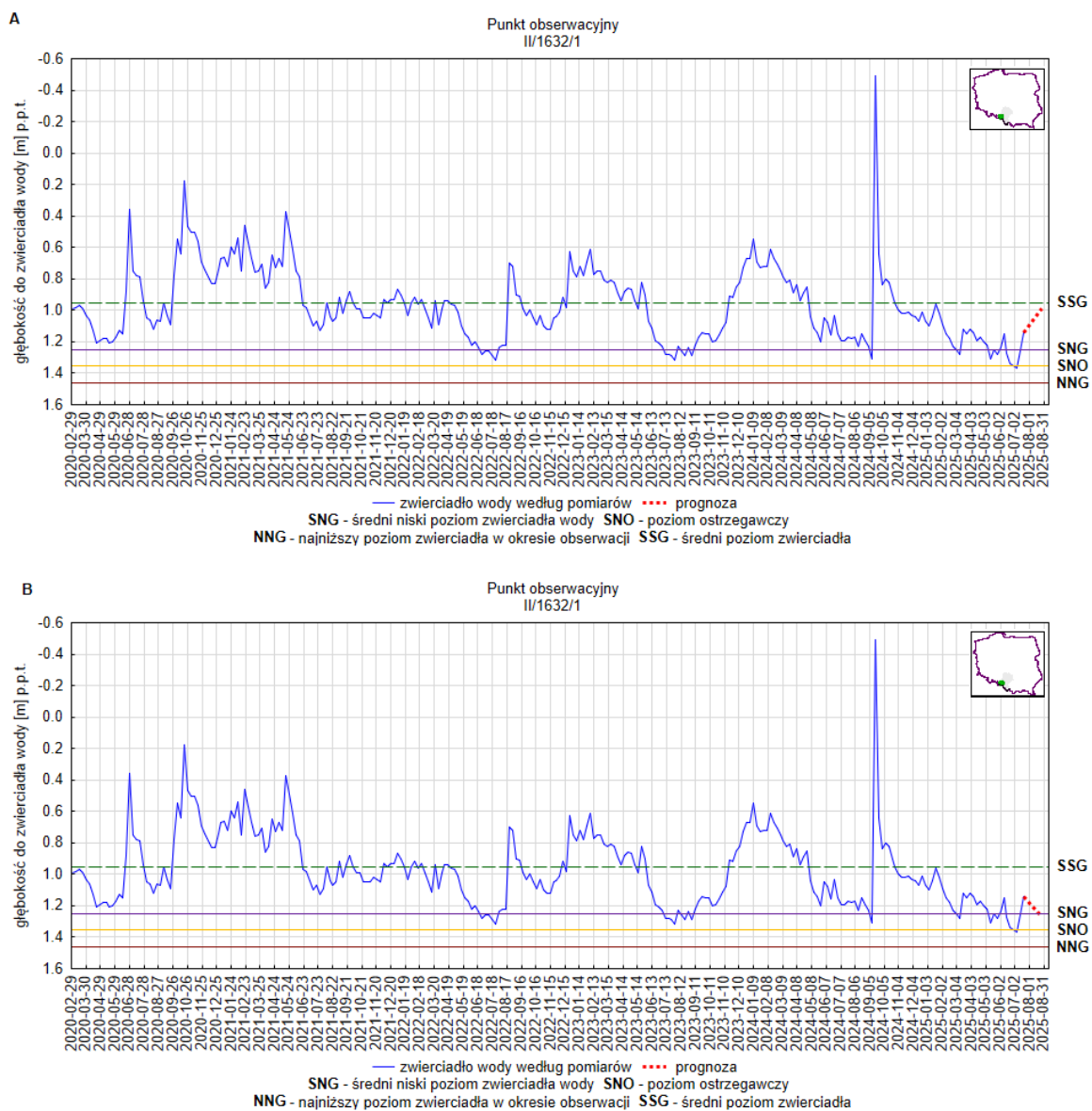
W punkcie obserwacyjnym nr II/1750/1 w miejscowości Borucino w województwie pomorskim nie prognozuje się wystąpienia niżówki hydrogeologicznej (scenariusz A i B; rys. 18).

Województwo śląskie



Rys. 19 Prognoza dotycząca stanu wód o zwierciadle swobodnym (gruntowych) na okres 01.08.2025 –31.08.2025 r. – stacja hydrogeologiczna nr II/1351/1 w miejscowości Ciasna (woj. śląskie).
A – prognoza przy założeniu scenariusza A; B – prognoza przy założeniu scenariusza B

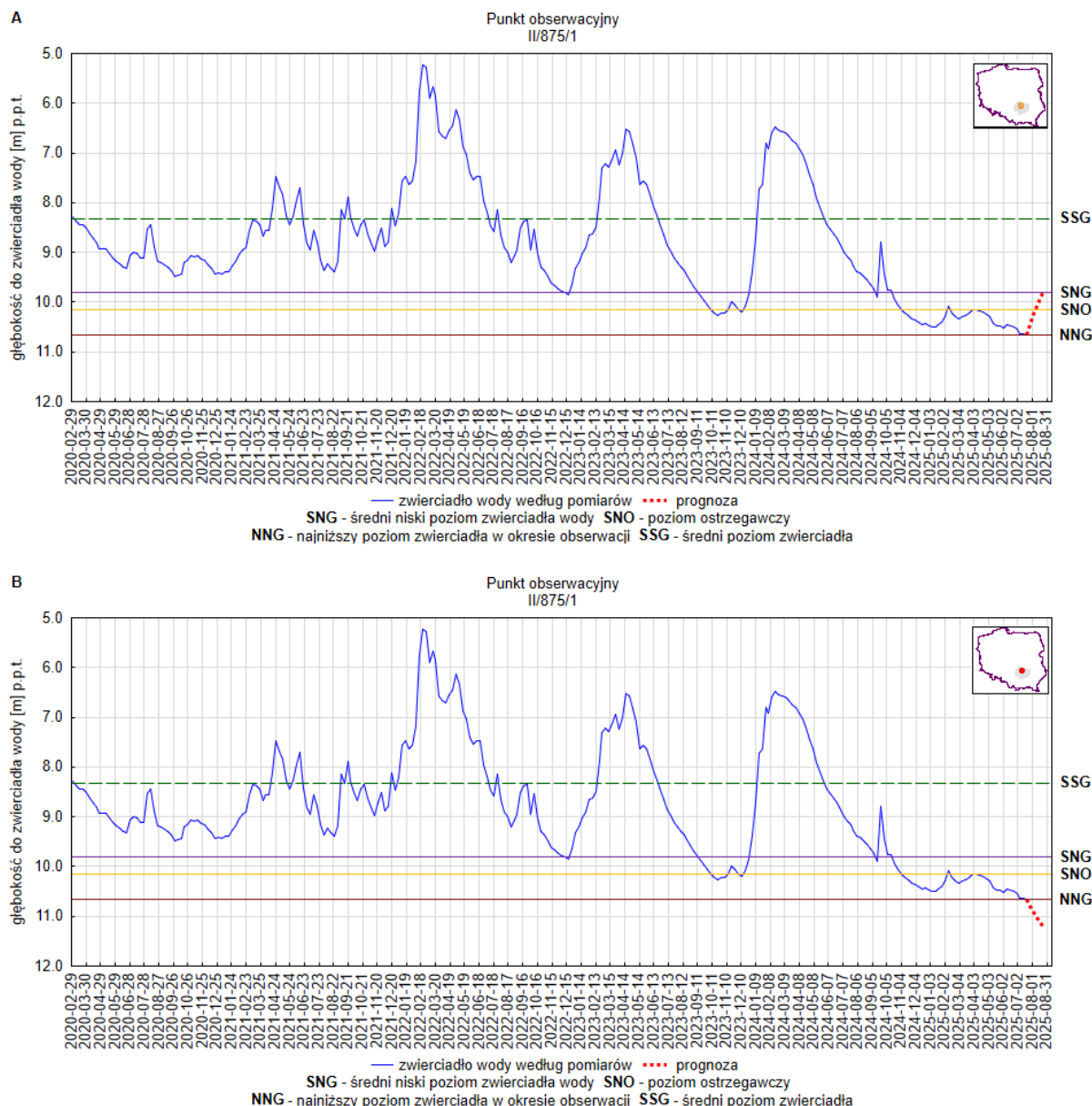
W punkcie obserwacyjnym nr II/1351/1 w miejscowości Ciasna w województwie śląskim prognozuje się kontynuację niżówki hydrogeologicznej (scenariusz B; rys. 19).



Rys. 20. Prognoza dotycząca stanu wód o zwierciadle swobodnym (gruntowych) na okres 01.08.2025 –31.08.2025 r. – stacja hydrogeologiczna nr II/1632/1 w miejscowości Nędza (woj. śląskie). **A** – prognoza przy założeniu scenariusza A; **B** – prognoza przy założeniu scenariusza B

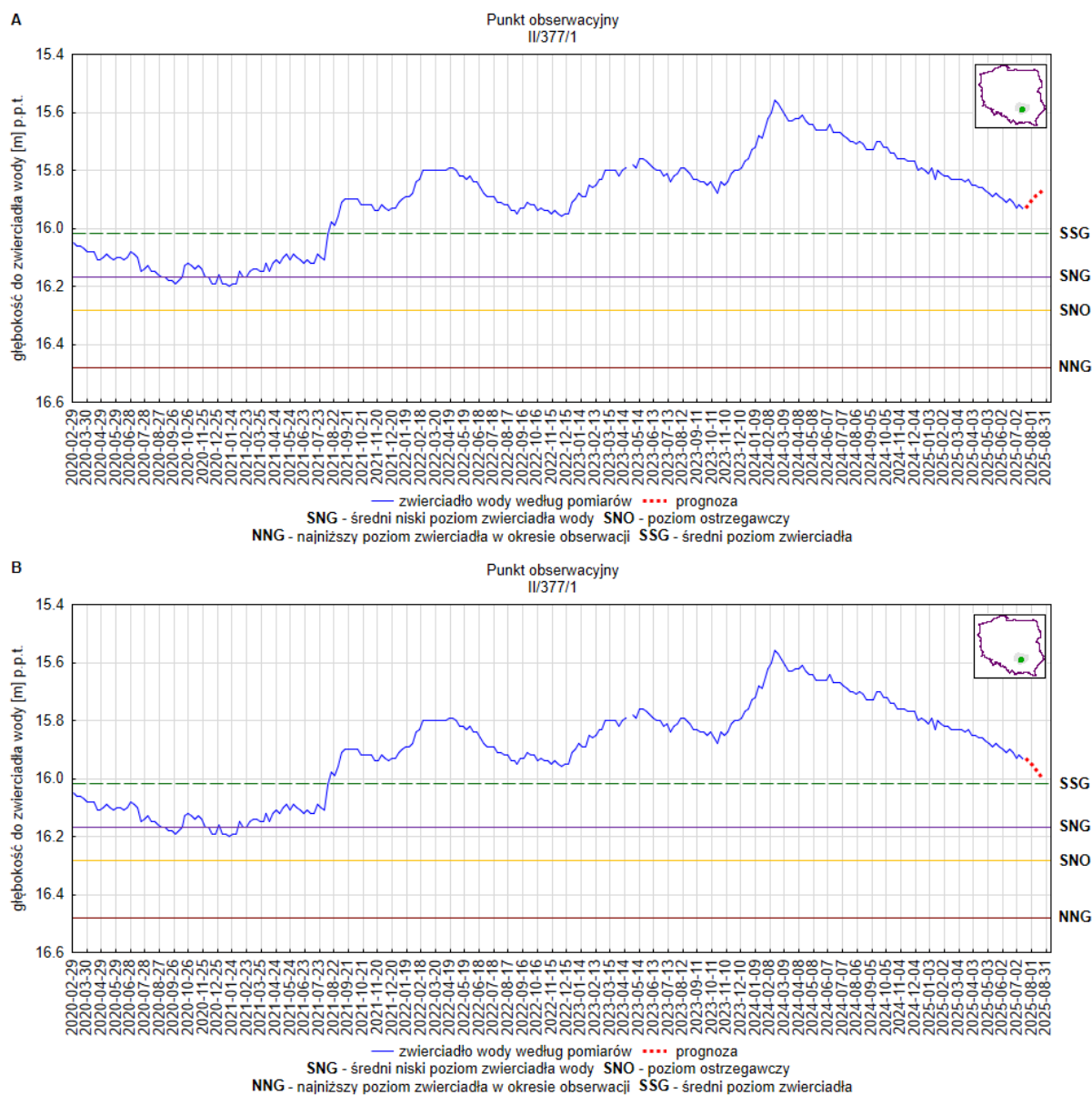
W punkcie obserwacyjnym nr II/1632/1 w miejscowości Nędza w województwie śląskim nie prognozuje się wystąpienia niżówki hydrogeologicznej (scenariusz A i B; rys. 20).

Województwo świętokrzyskie



Rys. 21. Prognoza dotycząca stanu wód o zwiędziadle swobodnym (gruntowych) na okres 01.08.2025 –31.08.2025 r. – stacja hydrogeologiczna nr II/875/1 w miejscowości Ścięgna (woj. świętokrzyskie).
A – prognoza przy założeniu scenariusza A; B – prognoza przy założeniu scenariusza B

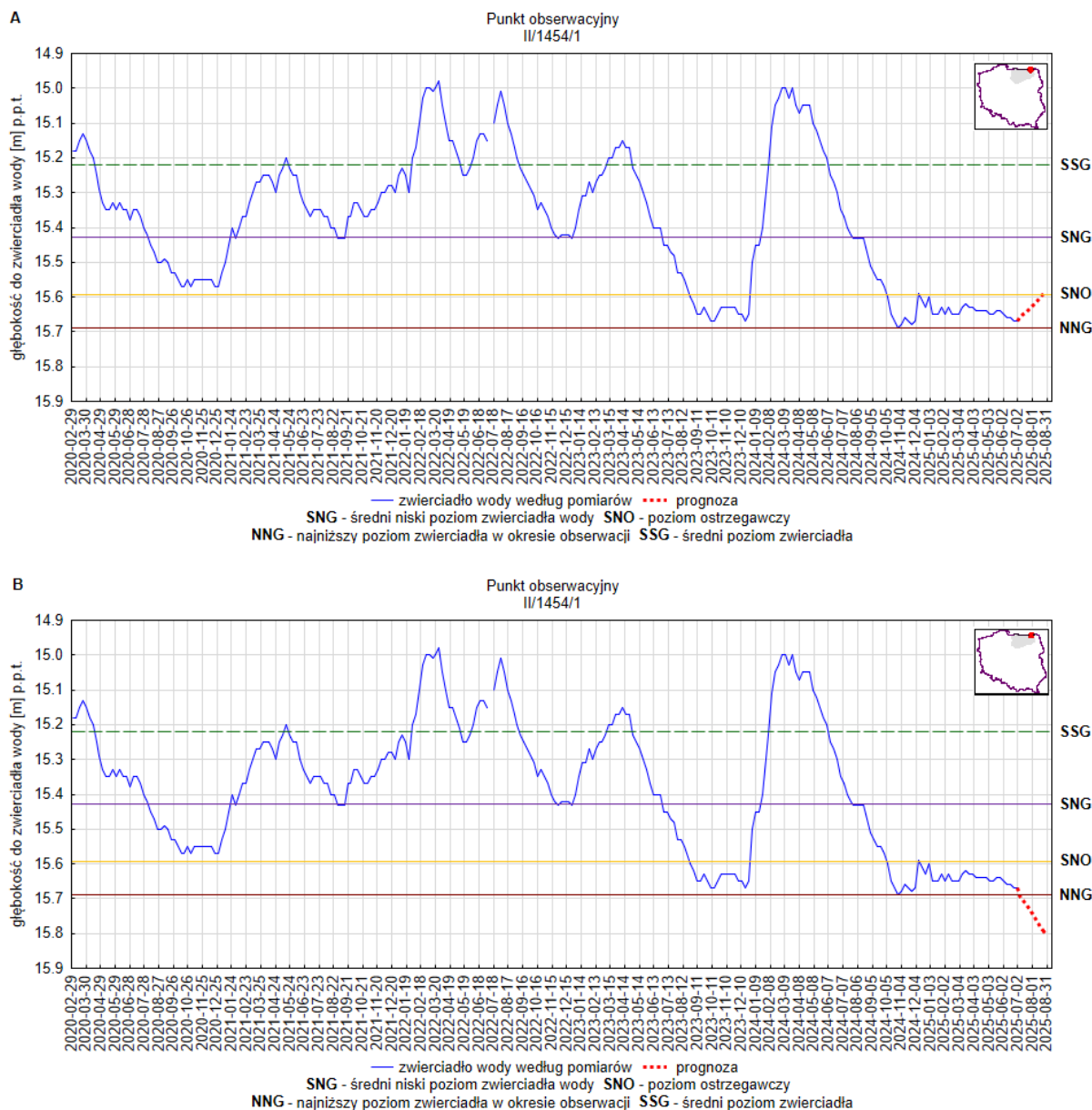
W punkcie obserwacyjnym nr II/875/1 w miejscowości Ścięgna w województwie świętokrzyskim prognozuje się kontynuację niżówki hydrogeologicznej (scenariusz B; rys. 21).



Rys. 22. Prognoza dotycząca stanu wód o zwierciadle swobodnym (gruntowych) na okres 01.08.2025 – 31.08.2025 r. – stacja hydrogeologiczna nr II/377/1 w miejscowości Chmielnik (woj. świętokrzyskie). **A** – prognoza przy założeniu scenariusza A; **B** – prognoza przy założeniu scenariusza B

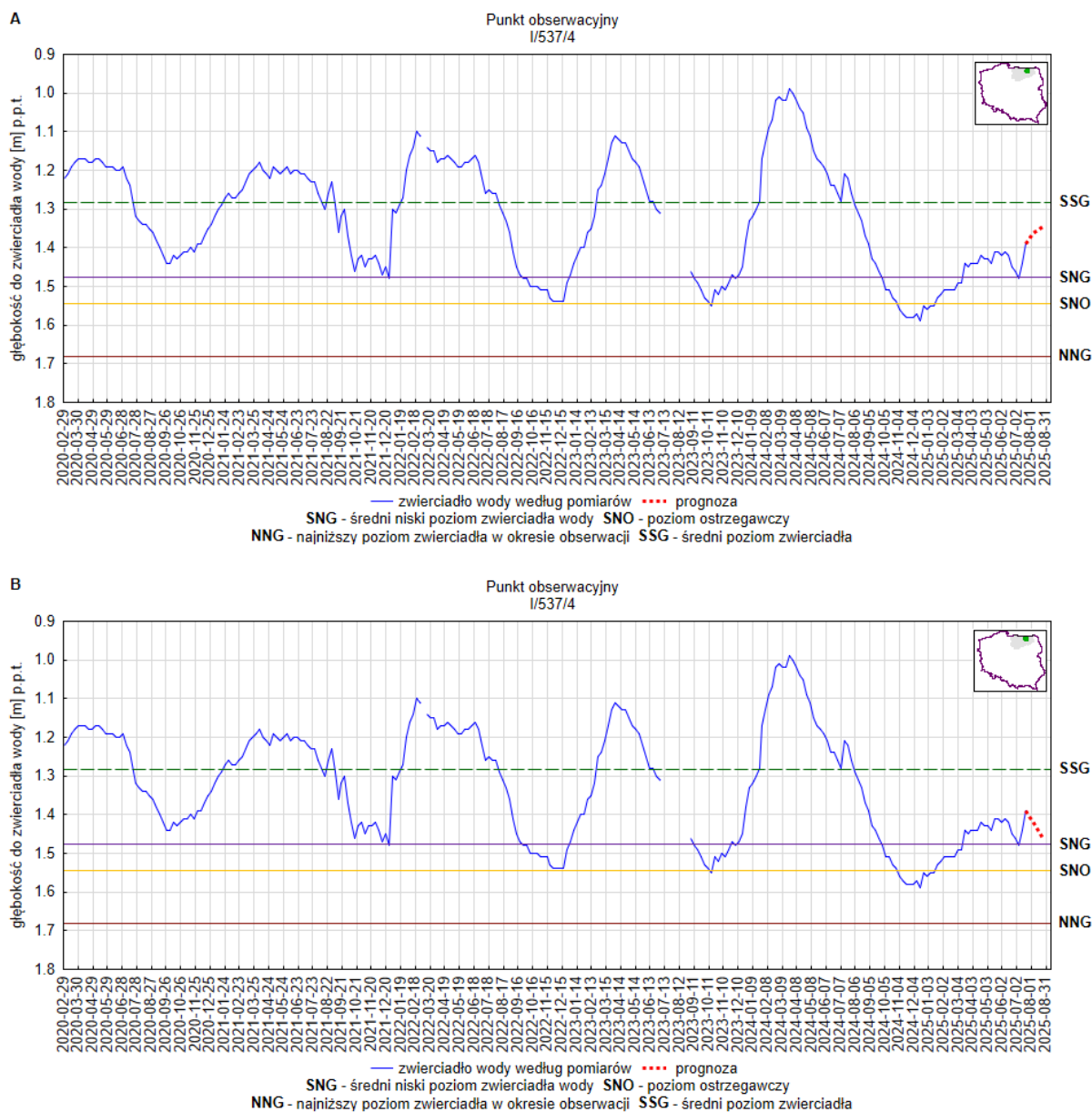
W punkcie obserwacyjnym nr II/377/1 w miejscowości Chmielnik w województwie świętokrzyskim nie prognozuje się niżówki hydrogeologicznej (scenariusz A i B; rys. 22).

Województwo warmińsko-mazurskie



Rys. 23. Prognoza dotycząca stanu wód o zwierciadle swobodnym (gruntowych) na okres 01.08.2025 –31.08.2025 r. – stacja hydrogeologiczna nr II/1454/1 w miejscowości Kośmidry (woj. warmińsko-mazurskie). **A** – prognoza przy założeniu scenariusza A; **B** – prognoza przy założeniu scenariusza B

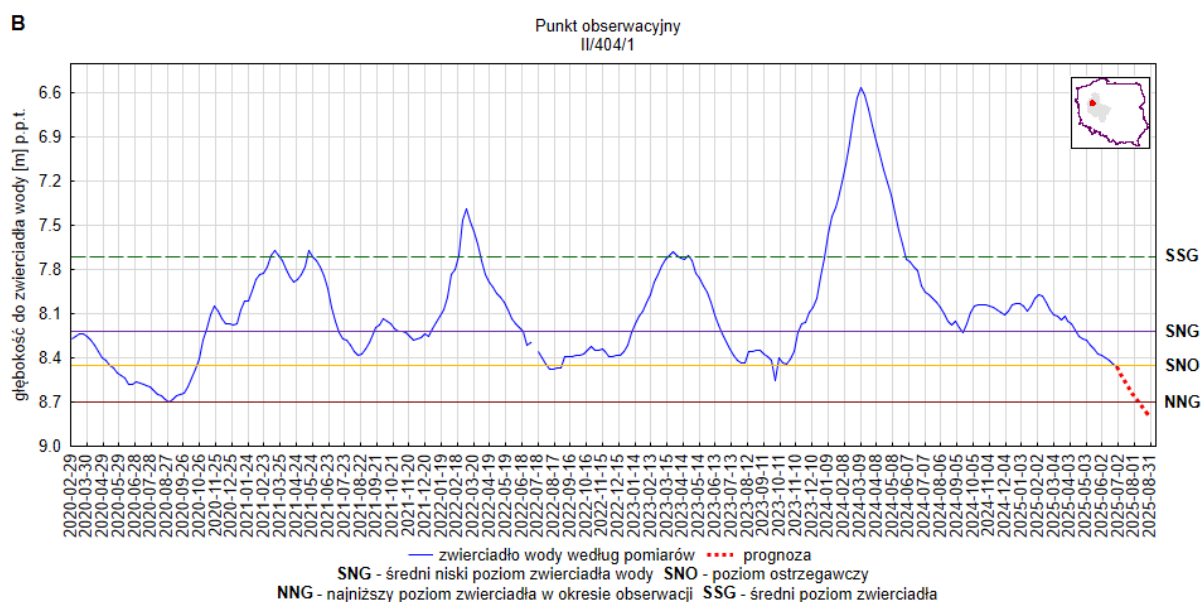
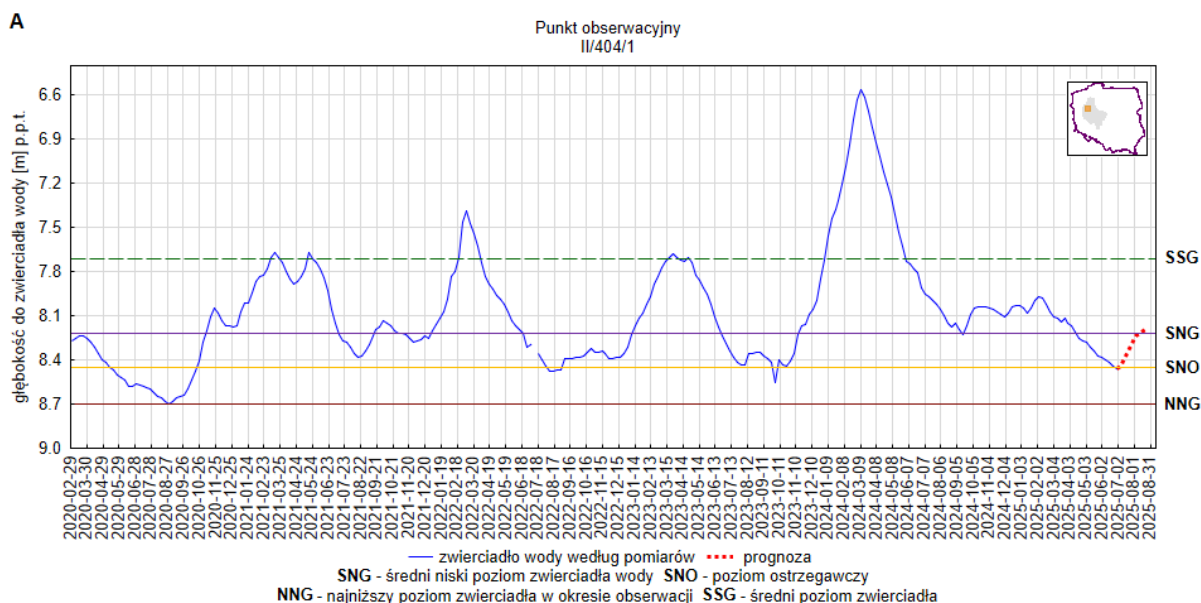
W punkcie obserwacyjnym II/1454/1 w miejscowości Kośmidry w województwie warmińsko-mazurskim prognozuje się kontynuację niżówki hydrogeologicznej (scenariusz A i B; rys. 23).



Rys. 24. Prognoza dotycząca stanu wód o zwierciadle swobodnym (gruntowych) na okres 01.08.2025 –31.08.2025 r. – stacja hydrogeologiczna nr I/537/4 w miejscowości Doba (woj. warmińsko-mazurskie). **A** – prognoza przy założeniu scenariusza A; **B** – prognoza przy założeniu scenariusza B

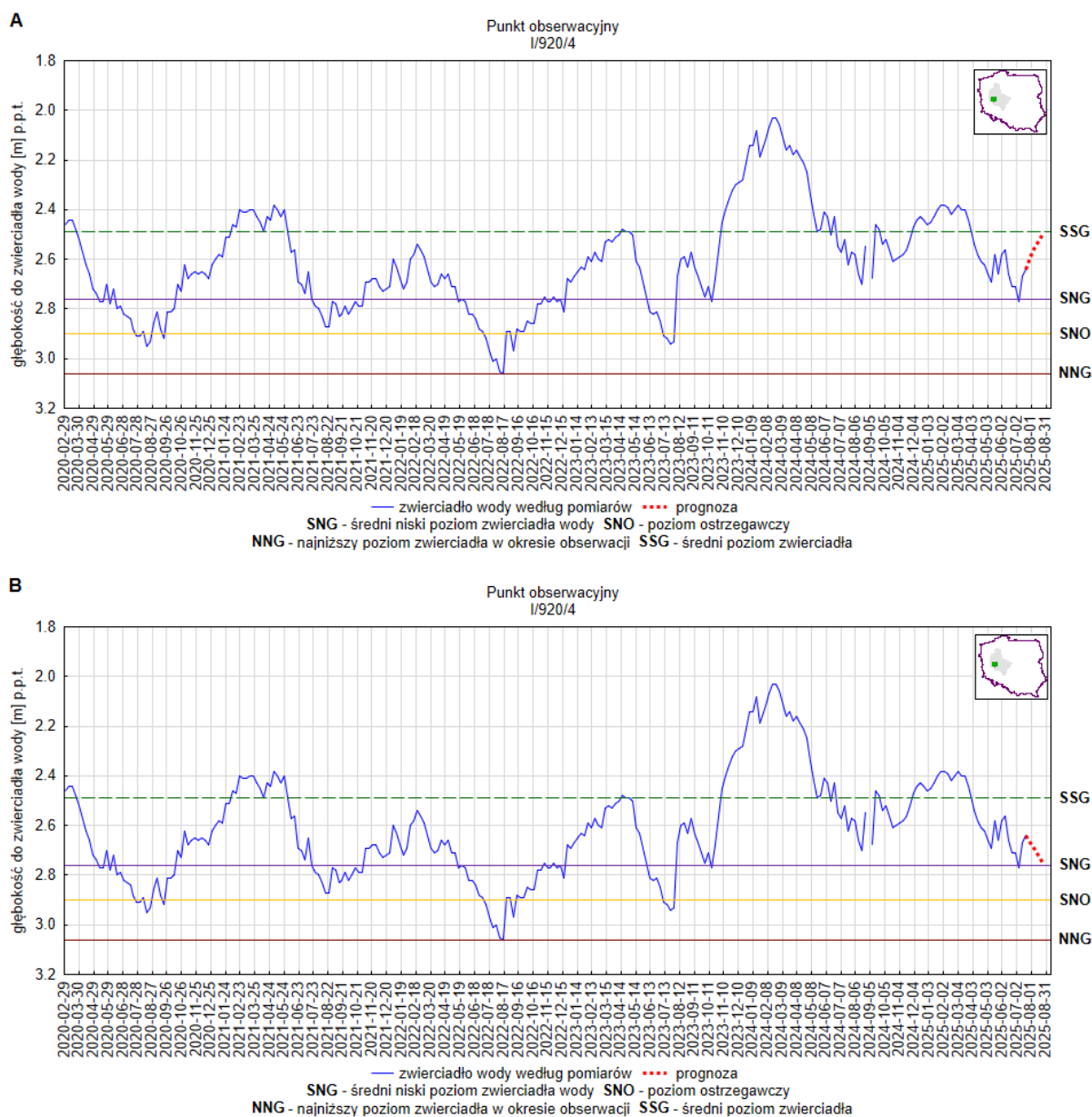
W punkcie obserwacyjnym I/537/4 w miejscowości Doba w województwie warmińsko-mazurskim nie prognozuje się niżówki hydrogeologicznej (scenariusz A i B; rys. 24).

Województwo wielkopolskie



Rys. 25. Prognoza dotycząca stanu wód o zwierciadle swobodnym (gruntowych) na okres 01.08.2025 –31.08.2025 r. – stacja hydrogeologiczna nr II/404/1 w miejscowości Obrzycko (woj. wielkopolskie).
A – prognoza przy założeniu scenariusza A; B – prognoza przy założeniu scenariusza B

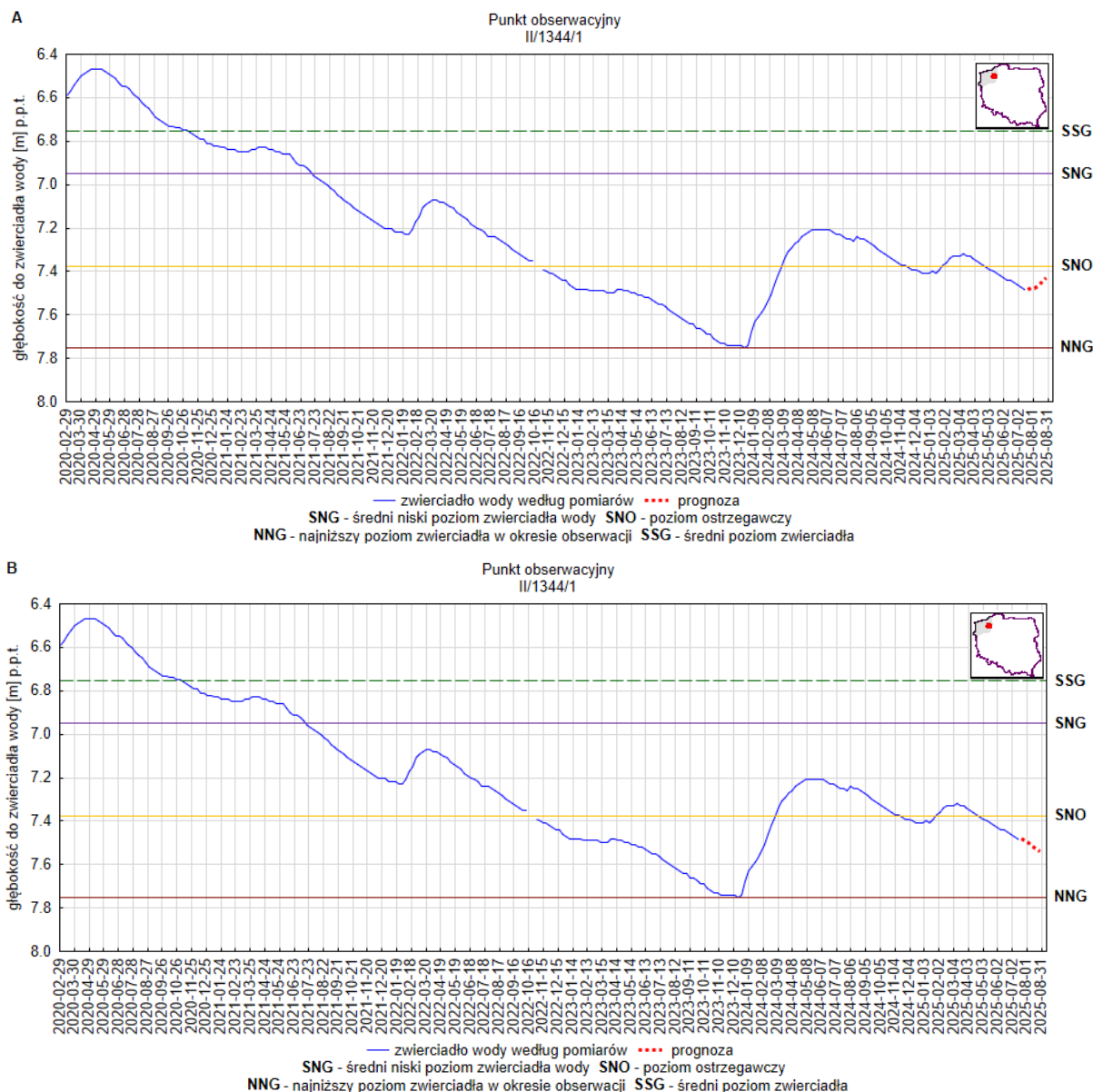
W punkcie obserwacyjnym nr II/404/1 w miejscowości Obrzycko w województwie wielkopolskim prognozuje się wystąpienie niżówki hydrogeologicznej (scenariusz B; rys. 25).



Rys. 26. Prognoza dotycząca stanu wód o zwierciadle swobodnym (gruntowych) na okres 01.08.2025 –31.08.2025 r. – stacja hydrogeologiczna nr I/920/4 w miejscowości Sepno (woj. wielkopolskie). **A** – prognoza przy założeniu scenariusza A; **B** – prognoza przy założeniu scenariusza B

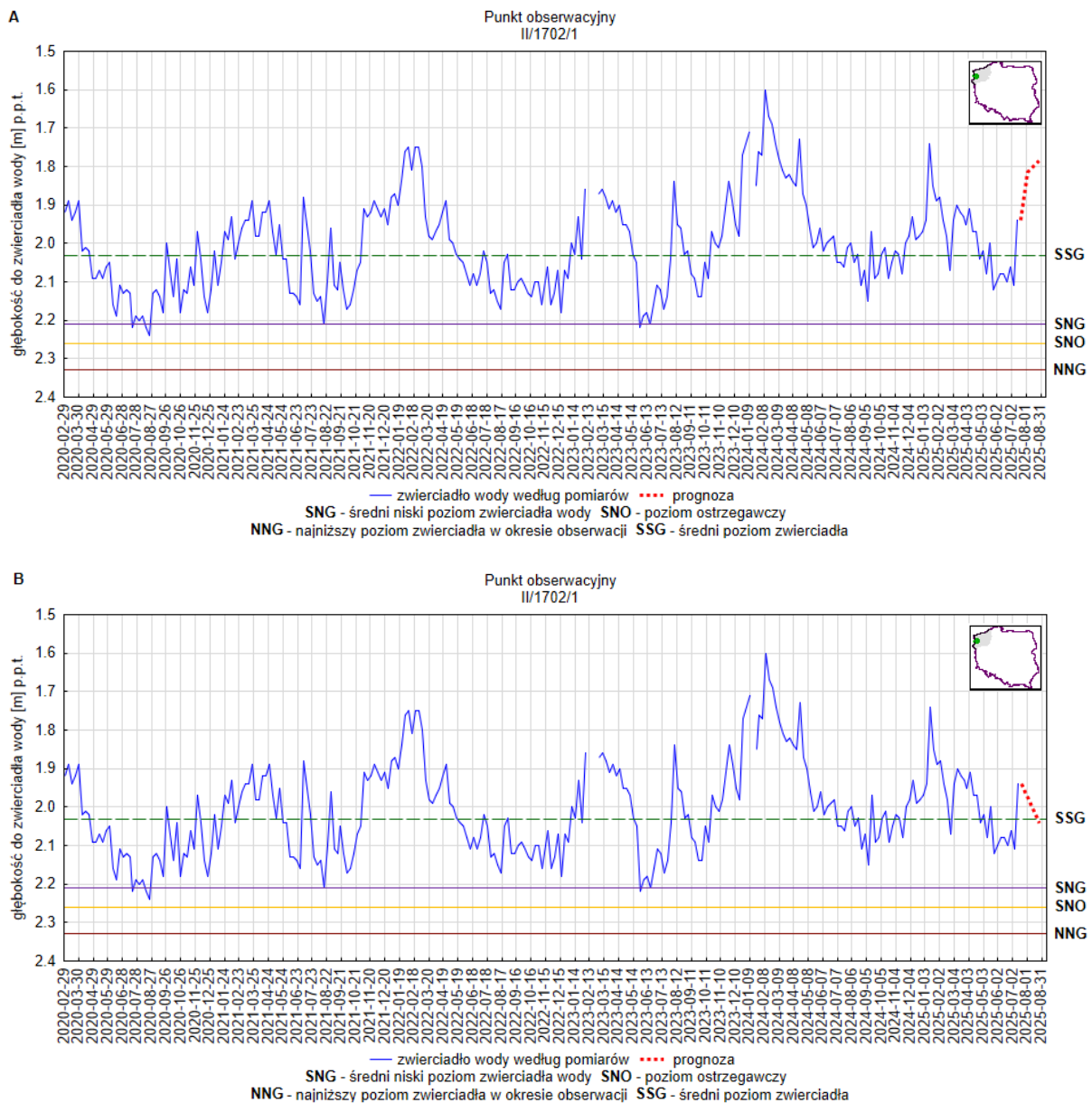
W punkcie obserwacyjnym nr I/920/4 w miejscowości Sepno w województwie wielkopolskim nie prognozuje się wystąpienia niżówki hydrogeologicznej (scenariusz A i B; rys. 26).

Województwo zachodniopomorskie



Rys. 27. Prognoza dotycząca stanu wód o zwierciadle swobodnym (gruntowych) na okres 01.08.2025 –31.08.2025 r. – stacja hydrogeologiczna nr II/1344/1 w miejscowości Okole (woj. zachodniopomorskie). **A** – prognoza przy założeniu scenariusza A; **B** – prognoza przy założeniu scenariusza B

W punkcie obserwacyjnym nr II/1344/1 w miejscowości Okole w województwie zachodniopomorskim prognozuje się kontynuację niżówki hydrogeologicznej (scenariusz A i B; rys. 27).



Rys. 28. Prognoza dotycząca stanu wód o zwierciadle swobodnym (gruntowych) na okres 01.08.2025 –31.08.2025 r. – stacja hydrogeologiczna nr II/1702/1 w miejscowości Szczecin (woj. zachodniopomorskie). **A** – prognoza przy założeniu scenariusza A; **B** – prognoza przy założeniu scenariusza B

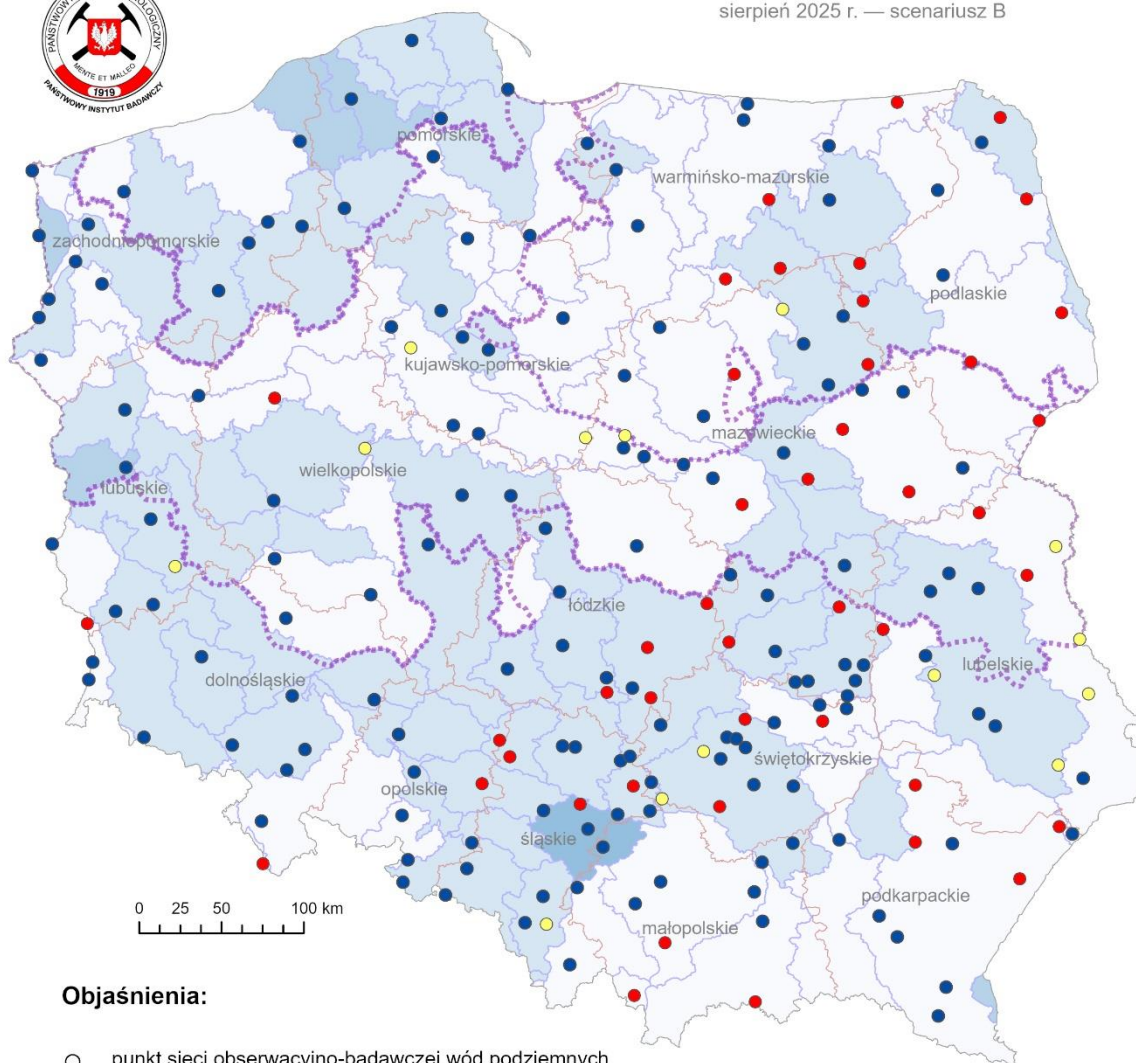
W punkcie obserwacyjnym nr II/1702/1 w miejscowości Szczecin w województwie zachodniopomorskim nie prognozuje się wystąpienia niżówki hydrogeologicznej (scenariusz A i B; rys. 28).

Część II

Prognoza zmian zasobów wód podziemnych



Prognoza hydrogeologiczna PSG 7/2025
sierpień 2025 r. — scenariusz B



Objaśnienia:

○ punkt sieci obserwacyjno-badawczej wód podziemnych

Prognoza stanu rezerw zasobów zmiennych wód podziemnych pierwszego poziomu wodonośnego w stosunku do NNG:

● brak zagrożenia rezerw zasobów

● zagrożenie rezerw zasobów

● brak rezerw zasobów

--- granica regionu ze średnim odpływem podziemnym z wielolecia 1951—1980 (poniżej $100 \text{ m}^3/\text{d km}^2$) na podst. Orsztynowicz, 1988

--- granica obszaru bilansowego

--- granica województwa

Moduł zasobów dyspozycyjnych* wód podziemnych w obszarze bilansowym [$\text{m}^3/24\text{h}/\text{km}^2$]**:



*zgodnie z definicją w Rozporządzeniu Ministra Środowiska z dnia 18 listopada 2016 r. w sprawie dokumentacji hydrogeologicznej i dokumentacji geologiczno-inżynierskiej (Dz. U. z 2016 r. poz. 2033)

**według Bazy danych zasobów dyspozycyjnych na obszarze kraju (PIG-PIB); stan na grudzień 2024 r.

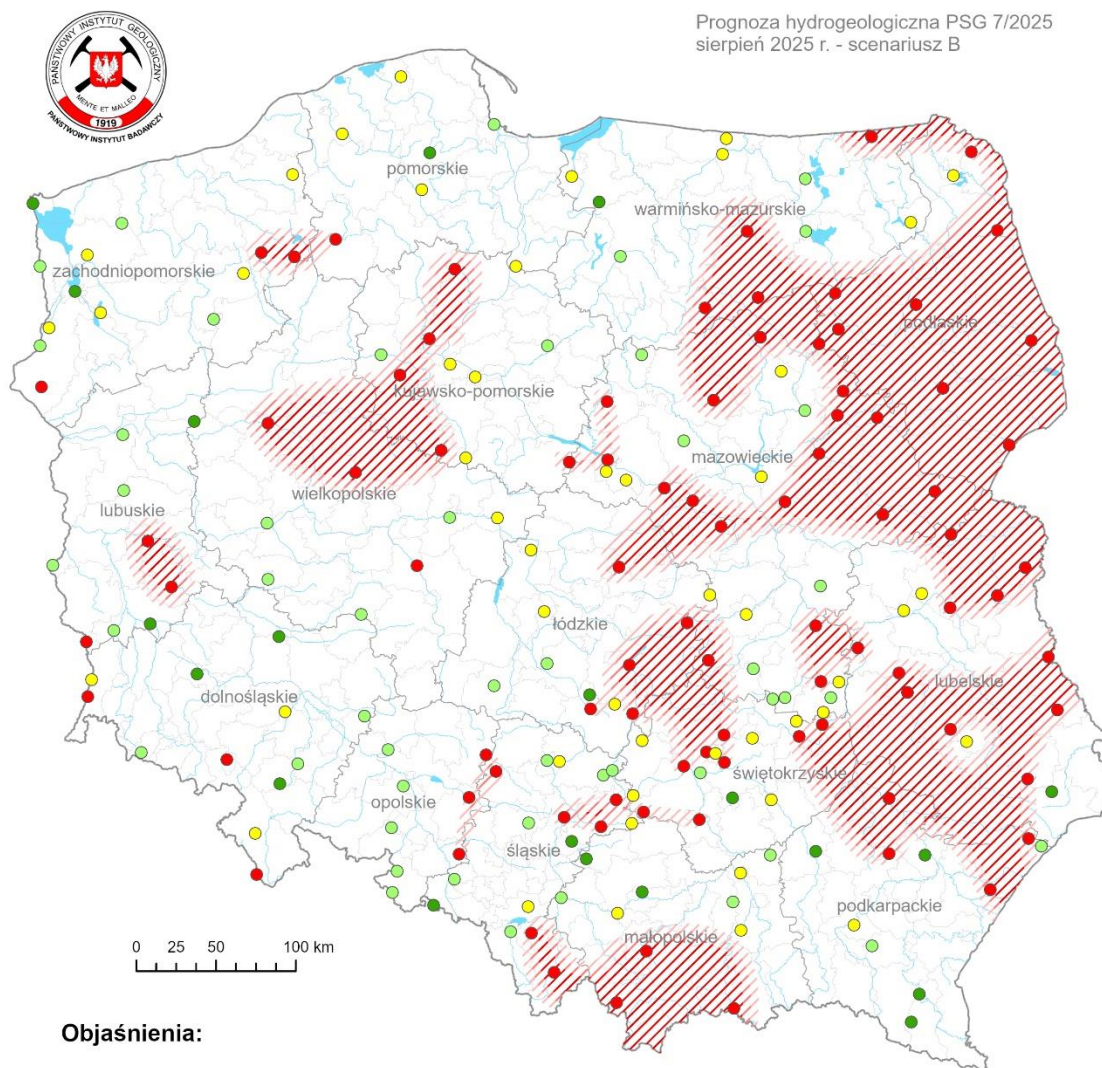
Rys. 29 Prognoza poziomu rezerw zasobów zmiennych wód podziemnych na sierpień 2025 r. według scenariusza B w odniesieniu do najniższego zaobserwowanego w wieloleciu położenia zwierciadła wód (NNG)

Rycina nr 29 przedstawia prognozę zmian poziomu rezerw wód podziemnych w okresie od 1 do 31 sierpnia 2025 r. w odniesieniu do najniższego zaobserwowanego w wieloleciu położenia zwierciadła płytkich wód podziemnych. Jest to interpretacja prognozy dotycząca scenariusza B, czyli zakładającego deficyt opadów atmosferycznych w nadchodzących tygodniach.

Z przeprowadzonych analiz wynika, że w okresie objętym prognozą na przeważającym obszarze kraju stan rezerw zasobów zmiennych kształtować się będzie na bezpiecznym poziomie (wskaźnik R_z większy niż 1). Jednocześnie prognozuje się, że brak rezerw zasobów w odniesieniu do najniższego obserwowanego w wieloleciu położenia zwierciadła wód podziemnych może wystąpić w niektórych regionach, głównie we wschodniej części kraju. W szczególności możliwy deficyt rezerw prognozuje się w obrębie województw: podlaskiego, warmińsko-mazurskiego, mazowieckiego, małopolskiego, podkarpackiego, łódzkiego, świętokrzyskiego, lubelskiego i śląskiego. Sporadycznie, lokalnie do braku rezerw zasobów zmiennych może dojść także na obszarze innych województw, w szczególności takich jak: lubuskie, wielkopolskie, dolnośląskie i opolskie.

Część III

Prognoza zagrożeń wód podziemnych



Objaśnienia:



○ punkt sieci obserwacyjno-badawczej wód podziemnych

Ocena zagrożenia hydrogeologicznego

ocena zagrożenia wystąpienia zjawiska niżówki hydrogeologicznej na podstawie prognozowanych wartości średnich położenia zwierciadła wody dla określonego miesiąca według scenariusza B:

- bardzo niski stopień zagrożenia - stan wyższy niż SSG
- niski stopień zagrożenia - stan wyższy niż SNG i jednocześnie niższy lub równy SSG
- umiarkowany stopień zagrożenia - stan wyższy niż SNO i jednocześnie niższy lub równy SNG
- wysoki stopień zagrożenia - stan równy lub niższy niż SNO

▨ obszar o wysokim prawdopodobieństwie wystąpienia niżówki hydrogeologicznej (prognoza według scenariusza B)

~ rzeka
 jezioro, zbiornik wodny
 granica województwa

Rys. 30. Prognoza zagrożeń wód podziemnych - występowanie niżówki hydrogeologicznej w okresie 1-31.08.2025 r. według scenariusza B

Rysunek nr 30 przedstawia prognozę występowania niżówki hydrogeologicznej według scenariusza B, zakładającego deficyt opadów atmosferycznych w najbliższych tygodniach. Według tego wariantu w okresie od 1 do 31 sierpnia 2025 r. prognozuje się wystąpienie niżówki hydrogeologicznej w skali regionalnej w obrębie województw: podlaskiego, warmińsko-mazurskiego, mazowieckiego, lubelskiego, małopolskiego, a także, w mniejszym stopniu, w województwach: zachodniopomorskim, wielkopolskim, kujawsko-pomorskim, łódzkim, świętokrzyskim, podkarpackim, śląskim i lubuskim.

Obniżenie zwierciadła płytkich wód podziemnych poniżej stanu niskiego ostrzegawczego (SNO) może występować także w skali lokalnej na innych niż wymienione powyżej obszarach kraju.

W związku z obecną i prognozowaną sytuacją hydrogeologiczną państwowa służba geologiczna wydaje Ostrzeżenie hydrogeologiczne nr 7/2025, zgodnie z którym w sierpniu 2025 r. stan zagrożenia hydrogeologicznego będzie obowiązywać w województwach: podlaskim, warmińsko-mazurskim, mazowieckim, lubelskim, małopolskim oraz zachodniopomorskim, wielkopolskim, kujawsko-pomorskim, łódzkim, świętokrzyskim, podkarpackim, śląskim i lubuskim.

Czas aktualizacji prognozy będzie dostosowany do wyników bieżącej analizy sytuacji hydrogeologicznej w kraju.

Niniejsza prognoza publikowana jest na stronie internetowej państwowej służby geologicznej pod adresem: <http://www.pgi.gov.pl/psh/psh-2/aktualna-sytuacja-hydrogeologiczna.html>.



Państwowy Instytut Geologiczny
Państwowy Instytut Badawczy

państwowa służba
geologiczna

ul. Rakowiecka 4,
00-975 Warszawa

pgi.gov.pl

komprog@pgi.gov.pl